

Krylov complexity and chaos in quantum mechanics

渡辺涼太（京都大学）

arXiv:2305.16669

橋本幸士氏(京都大), 村田佳樹氏(日本大), 棚橋典大氏(中央大)との共同研究

量子論におけるカオスをどのように特徴づけるか？

- 量子カオスの研究は長く、現在も発展途上

例) 隣接エネルギー準位間隔の統計分布 [Bohigas, Giannoni, Schmit 1984]

- 量子カオス系では演算子(および状態)は時間と共に複雑に発展すると期待

[Roberts, Stanford, Susskind 2014]

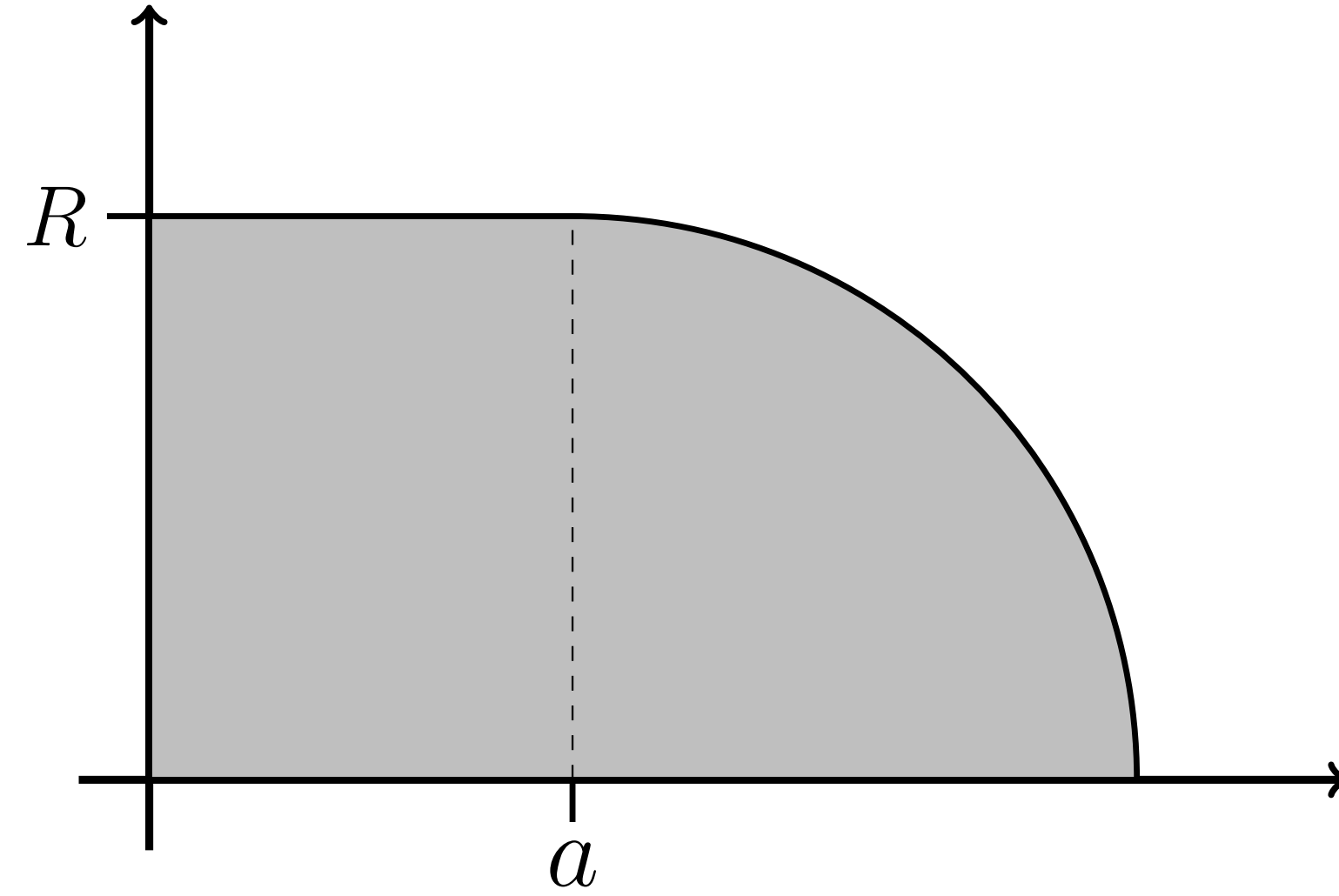
$$\mathcal{O}(t) = \mathcal{O}(0) + it[H, \mathcal{O}(0)] + \frac{(it)^2}{2}[H, [H, \mathcal{O}(0)]] + \dots$$

- 複雑性と系のカオス性の指標としてKrylov複雑性が提案された [Parker et al. 2018]
- Krylov複雑性はLanczos係数によって特徴づけられる

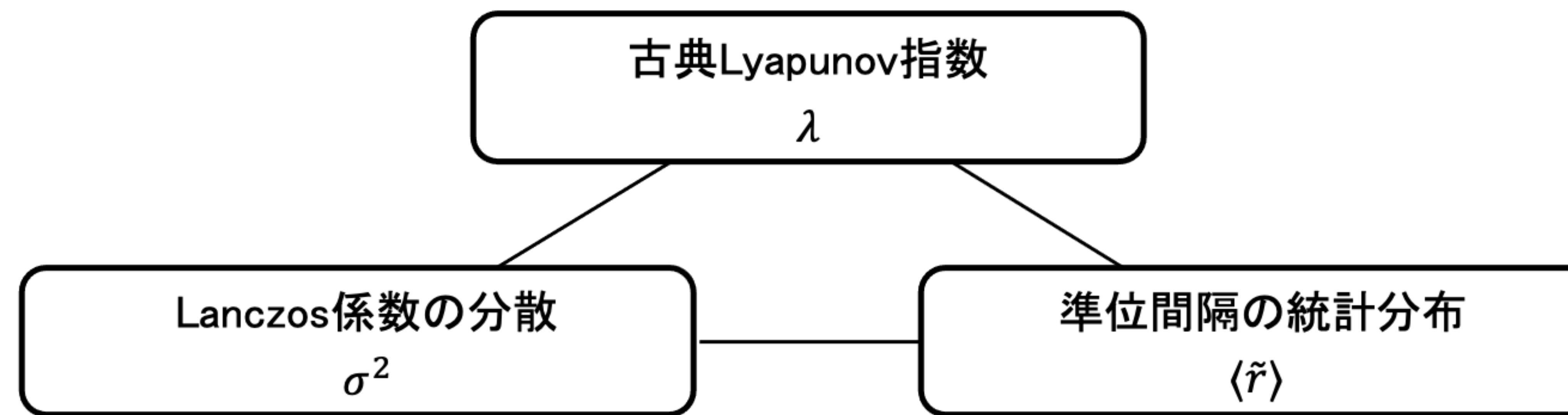
力オス性とLanczos係数の振る舞いに相関がある

[Hashimoto, Murata, Tanahashi, Watanabe 2023]

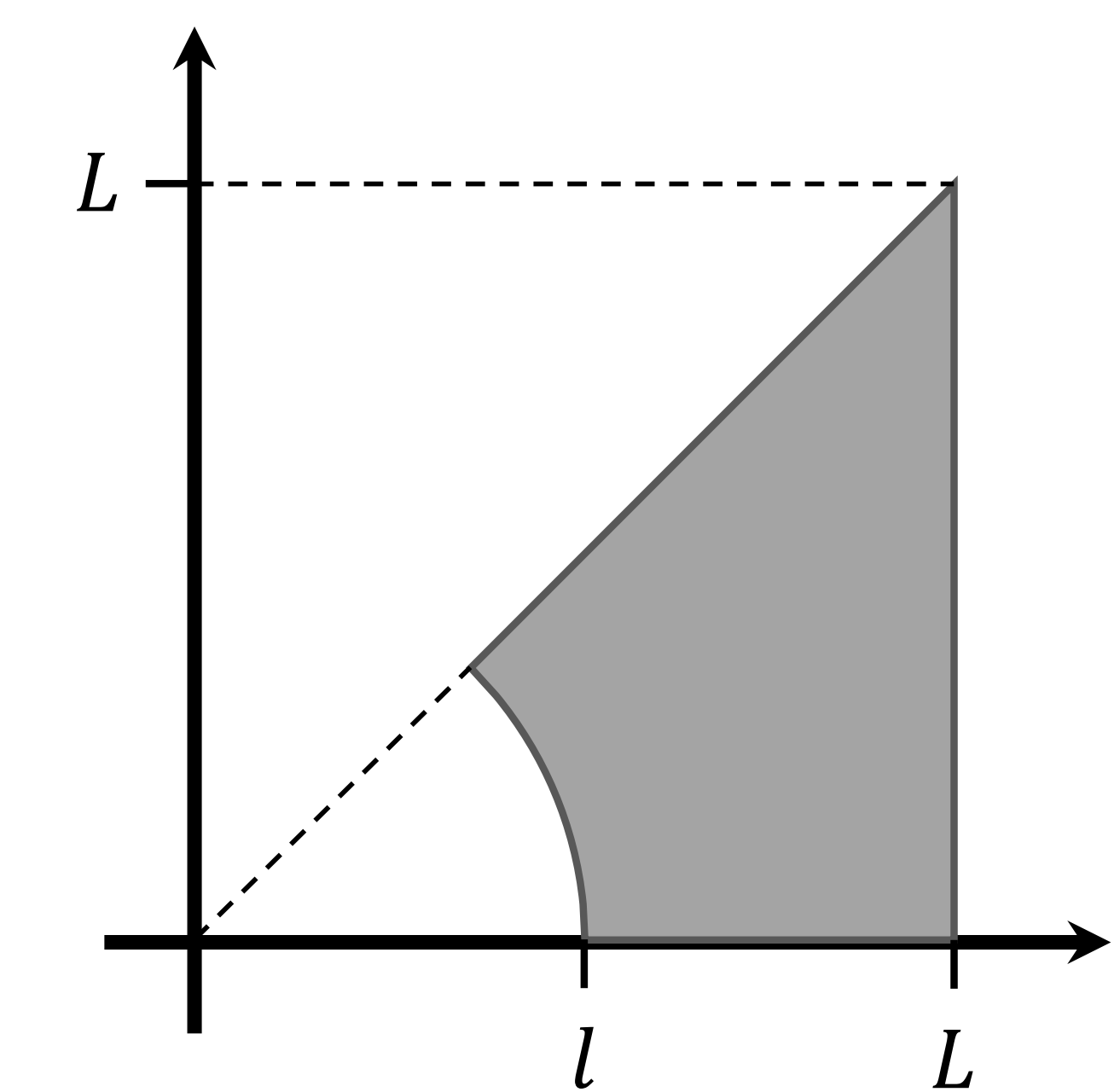
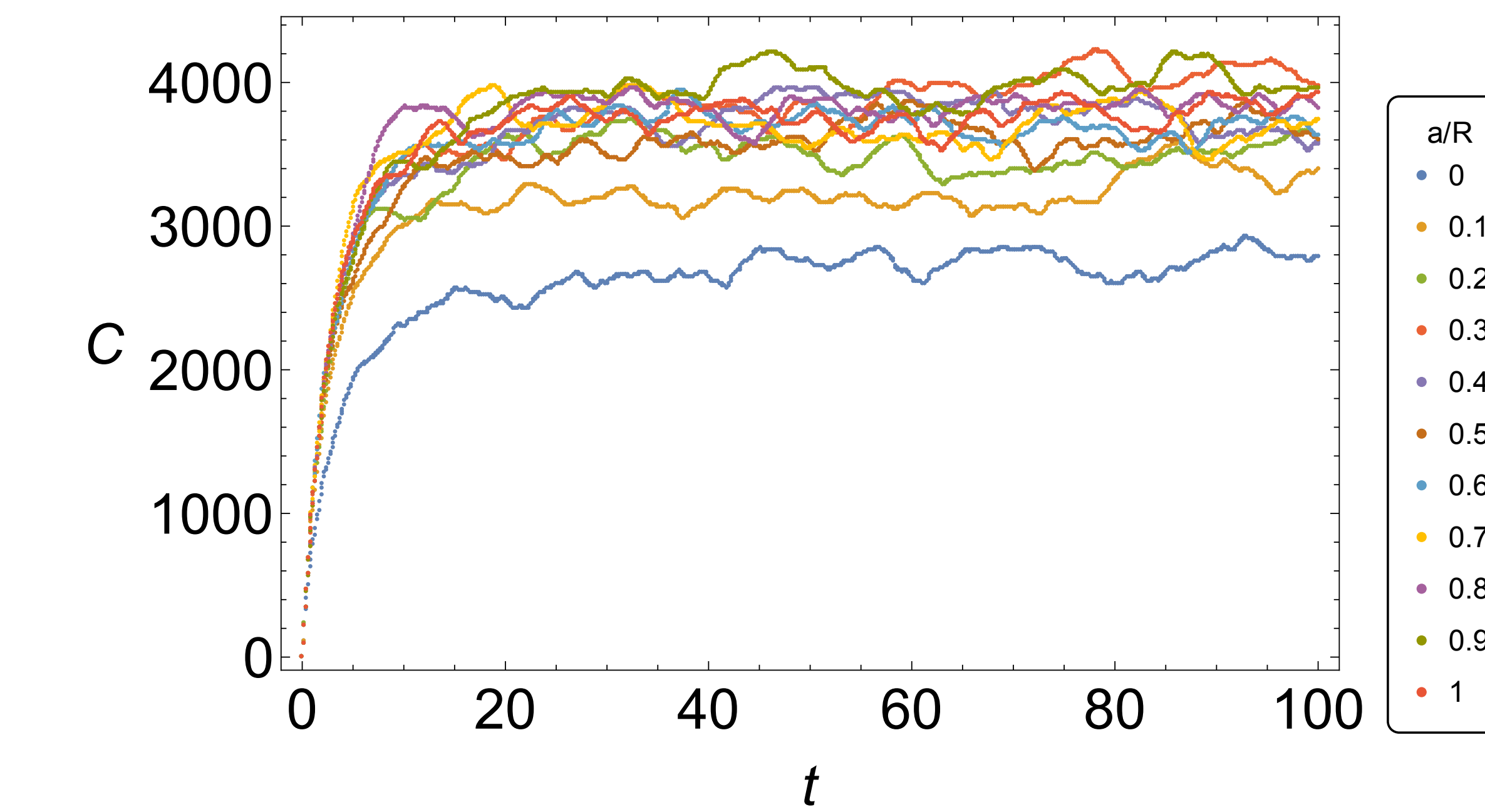
- スタジアムビリヤード系でKrylov複雑性を数値的に評価



- ビリヤードの形状を変形したときに次の3つの量の間に相関を確認



- Lanczos係数の振る舞いは量子力オスの良い指標となりうる
- 普遍性: 同様の結果はSinaiビリヤードに対しても確認された



Outline

レビュー: カオスとKrylov複雑性 (5)

ビリヤードにおけるKrylov複雑性 ($4+\alpha$)

まとめ

Outline

レビュー: カオスとKrylov複雑性 (5)

ビリヤードにおけるKrylov複雑性 ($4+\alpha$)

まとめ

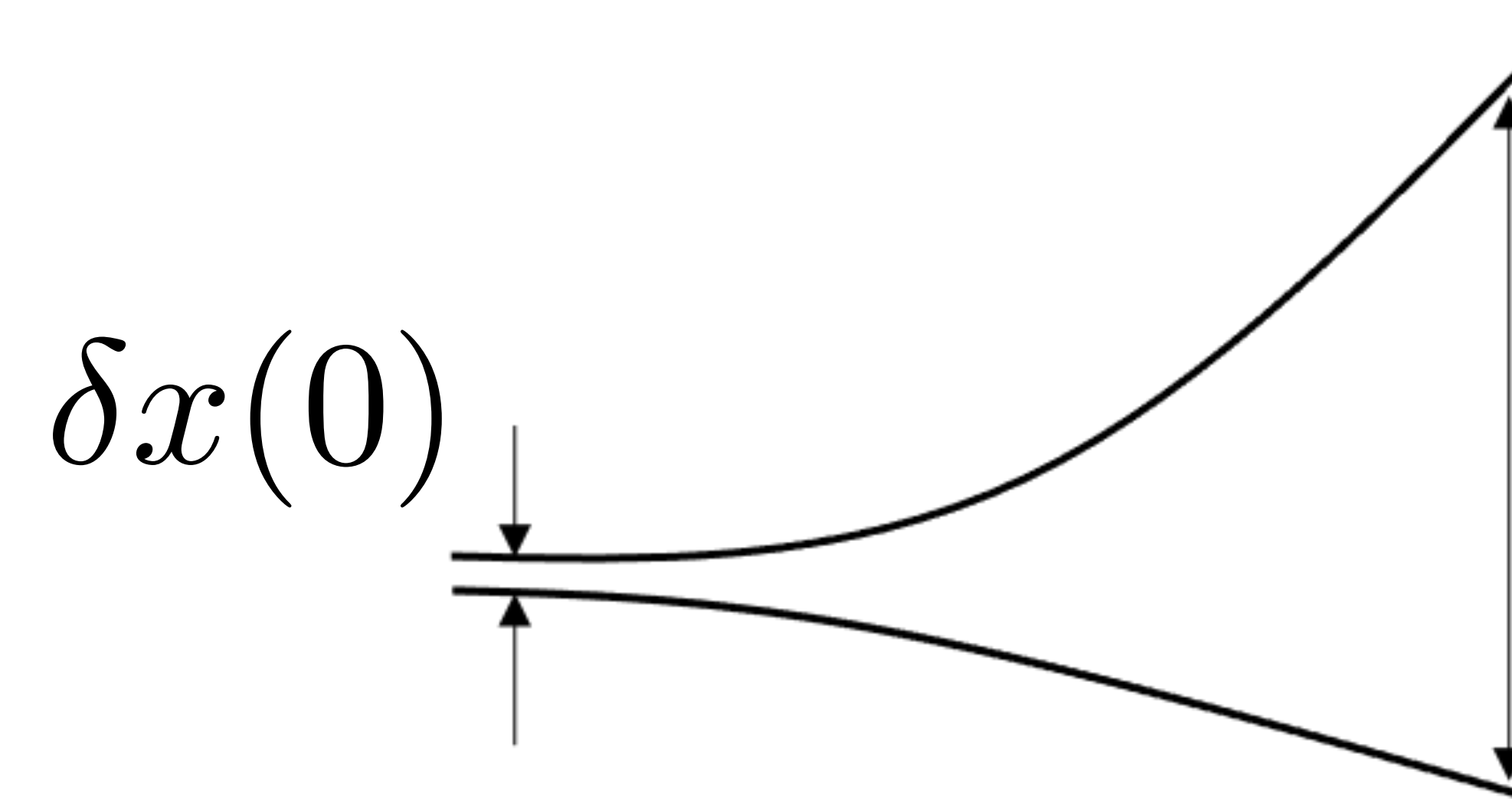
古典力オスはLyapunov指数で測る

古典力オスとは…

「非線形な決定論的力学系における、非周期的で初期値鋭敏性を持つ有界な運動」

初期値鋭敏性とは…

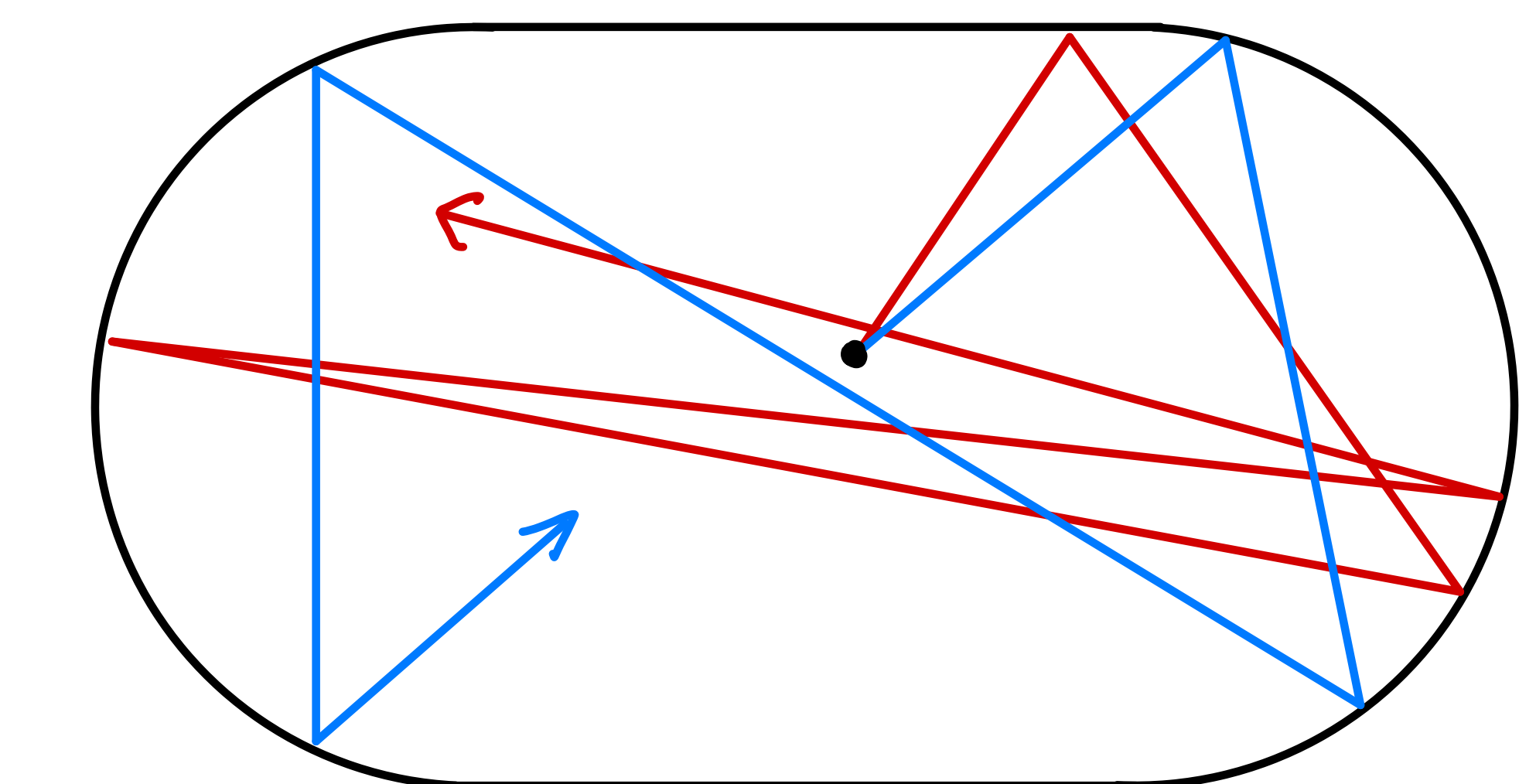
- 初期値の小さなズレが時間と共に指数関数的に増幅される性質



$$\delta x(t) \sim \exp(\lambda t) \delta x(0)$$

λ : Lyapunov指数

- Lyapunov指数が古典系の力オスの強さを測る



量子カオス：隣接準位間隔の統計

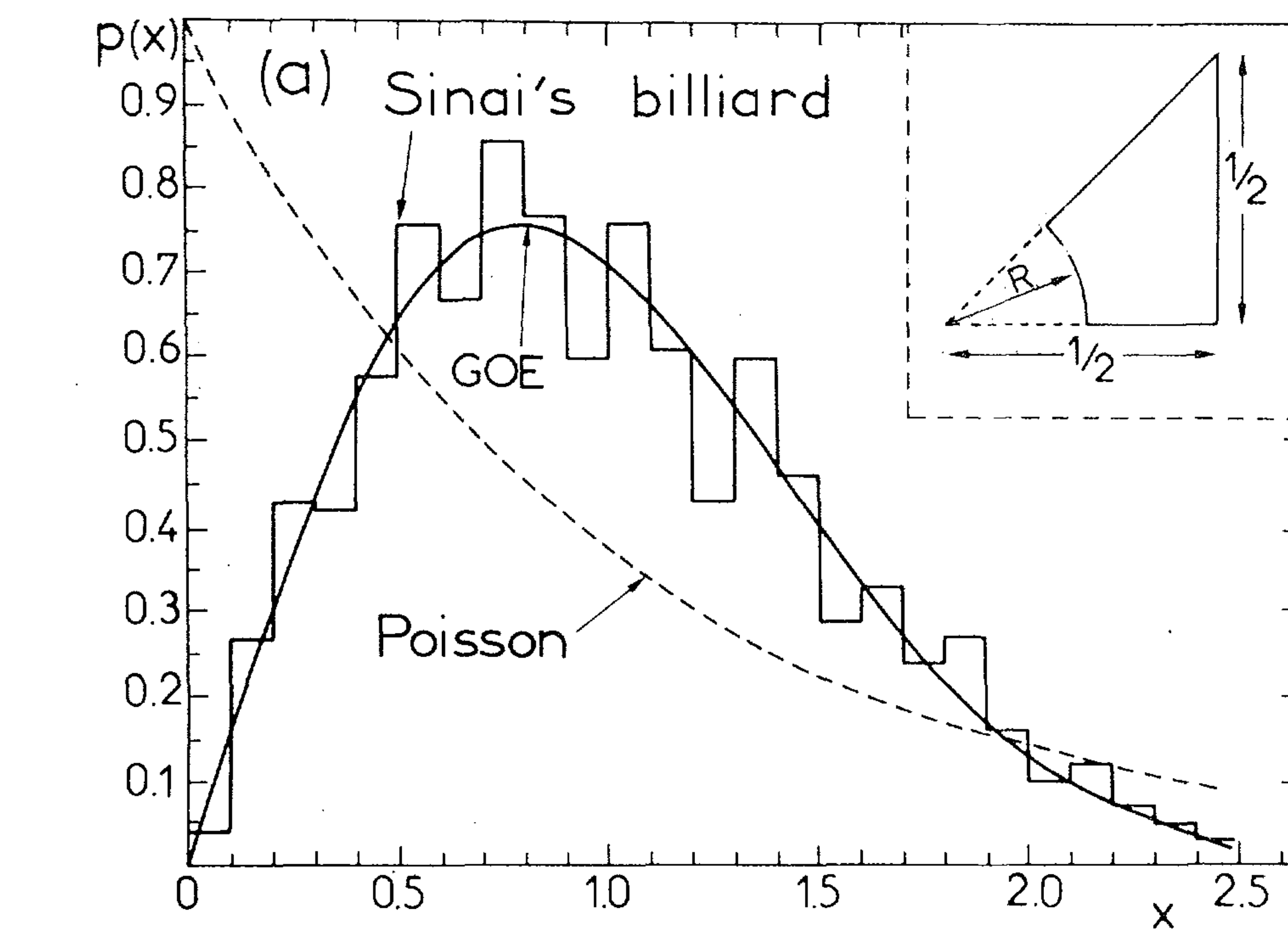
隣接量子エネルギー準位の間隔の統計分布に注目

- カオスならWigner–Dyson分布 [Bohigas, Giannoni, Schmit 1984]

$$P(s) = \frac{\pi}{2} s e^{-\pi s^2 / 4} \quad \langle \tilde{r} \rangle \simeq 0.536$$

- 可積分ならPoisson分布 [Berry, Tabor 1977]

$$P(s) = e^{-s} \quad \langle \tilde{r} \rangle \simeq 0.386$$



[Bohigas, Giannoni, Schmit 1984]

ただし、分布を特徴づけるパラメータ $\langle \tilde{r} \rangle$ [Oganesyan, Huse 2007] [Atas, Bogomolny, Giraud, Roux 2013]

$$\tilde{r}_n \equiv \frac{\min(s_n, s_{n-1})}{\max(s_n, s_{n-1})} \quad (s_n = E_{n+1} - E_n)$$

演算子の複雑化をKrylov複雑性で測る

[Parker, Cao, Avdoshkin, Scaffidi, Altman 2018]

力オス系ではHeisenberg演算子は時間と共に複雑化

$$\mathcal{O}(t) = \sum_{n=1}^{\infty} \frac{(it)^n}{n!} \mathcal{L}^n \mathcal{O} \quad (\mathcal{L} \equiv [H, \cdot], \mathcal{L}^2 \equiv [H, [H, \cdot]], \dots)$$

Krylov複雑性とは、交換子の個数の期待値のようなもの

1. 演算子空間に内積を導入 $(\mathcal{O}|\mathcal{O}') \equiv \text{Tr}[\mathcal{O}^\dagger \mathcal{O}']$

2. GS正規直交化(Lanczos法) $\{\mathcal{L}^n \mathcal{O}\} \rightarrow \{\mathcal{O}_n\}$

3. Heisenberg演算子を展開 $\mathcal{O}(t) = \sum_{n=0}^{\infty} i^n \varphi_n(t) \mathcal{O}_n$

4. Krylov複雑性 $C(t) \equiv \sum_{n=0}^{\infty} n |\varphi_n(t)|^2$

$$(\mathcal{O}_m | \mathcal{L} | \mathcal{O}_n) = \begin{pmatrix} 0 & b_1 & 0 & 0 & \cdots \\ b_1 & 0 & b_2 & 0 & \cdots \\ 0 & b_2 & 0 & b_3 & \cdots \\ 0 & 0 & b_3 & 0 & \ddots \\ \vdots & \vdots & \vdots & \ddots & \ddots \end{pmatrix}$$

Lanczos係数が時間発展を決める

Heisenberg方程式

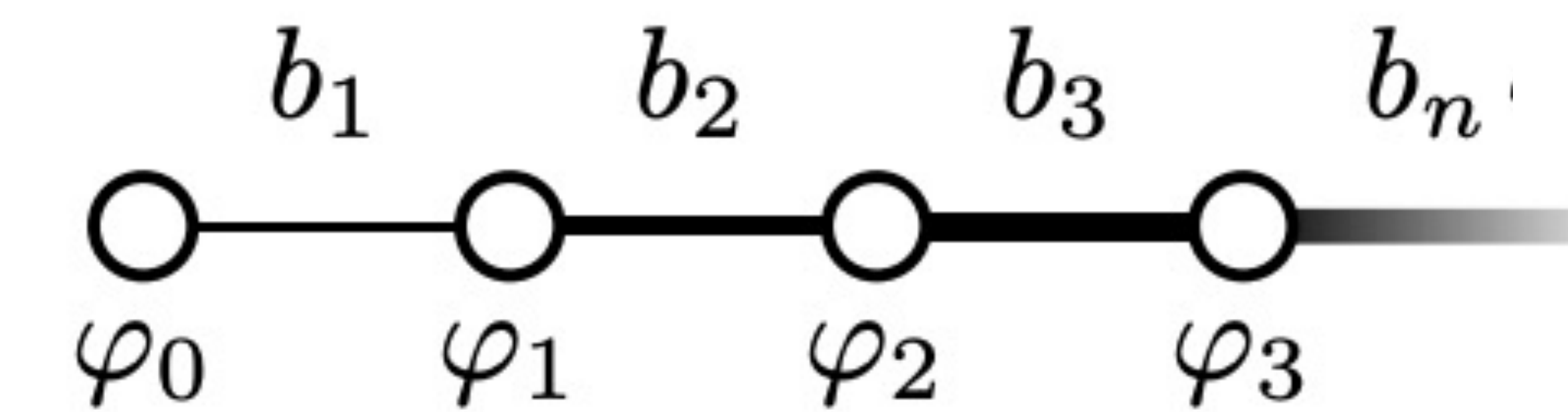
$$i\dot{O}(t) = \mathcal{L}O(t)$$



$$O(t) = \sum_{n=0}^{\infty} i^n \varphi_n(t) O_n$$

$$(O_m | \mathcal{L} | O_n) = \begin{pmatrix} 0 & b_1 & 0 & 0 & \dots \\ b_1 & 0 & b_2 & 0 & \dots \\ 0 & b_2 & 0 & b_3 & \dots \\ 0 & 0 & b_3 & 0 & \ddots \\ \vdots & \vdots & \vdots & \ddots & \ddots \end{pmatrix}$$

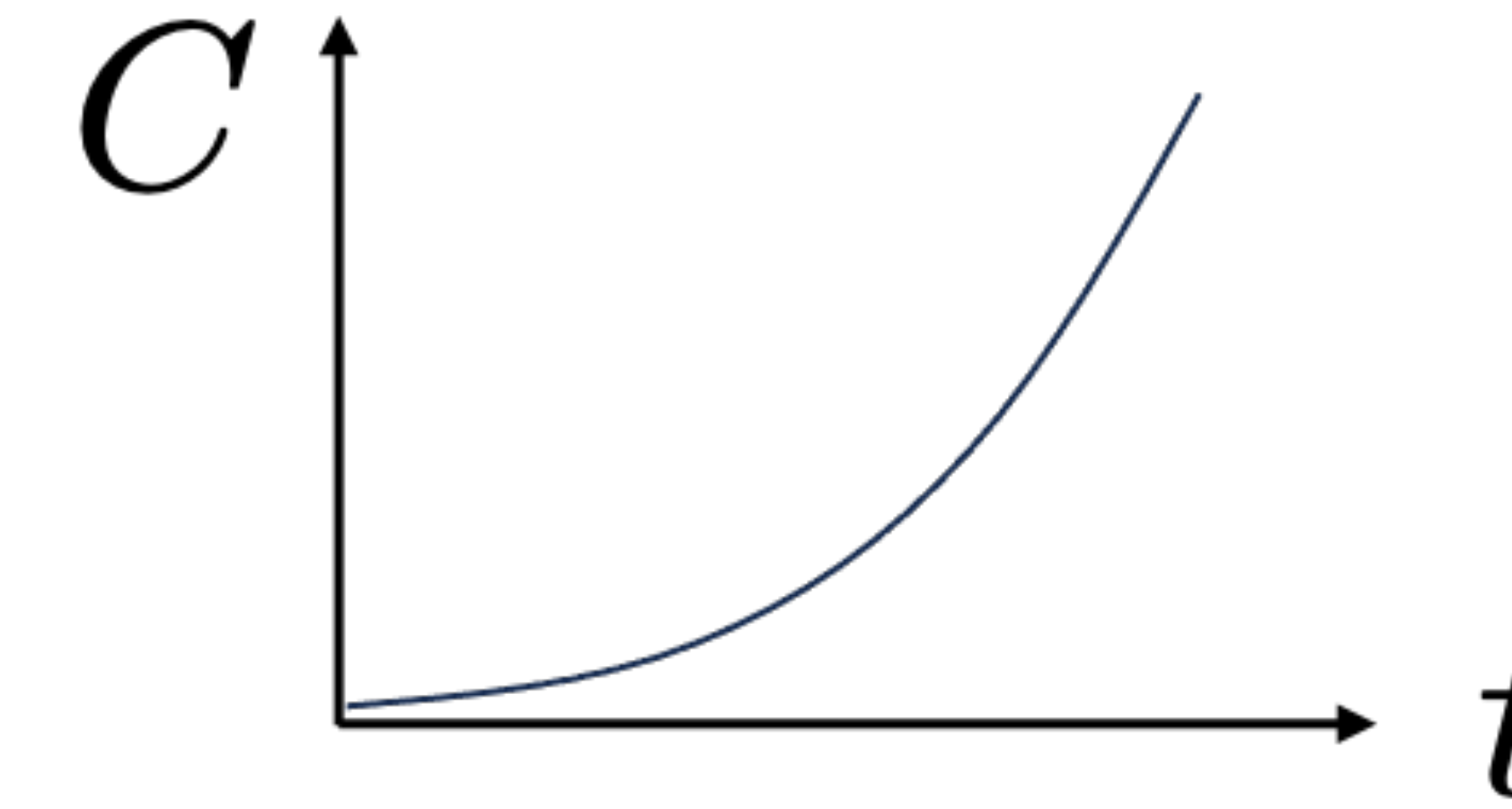
$$\dot{\varphi}_n = b_n \varphi_{n-1} - b_{n+1} \varphi_{n+1}$$



[Parker, Cao, Avdoshkin, Scaffidi, Altman 2018]

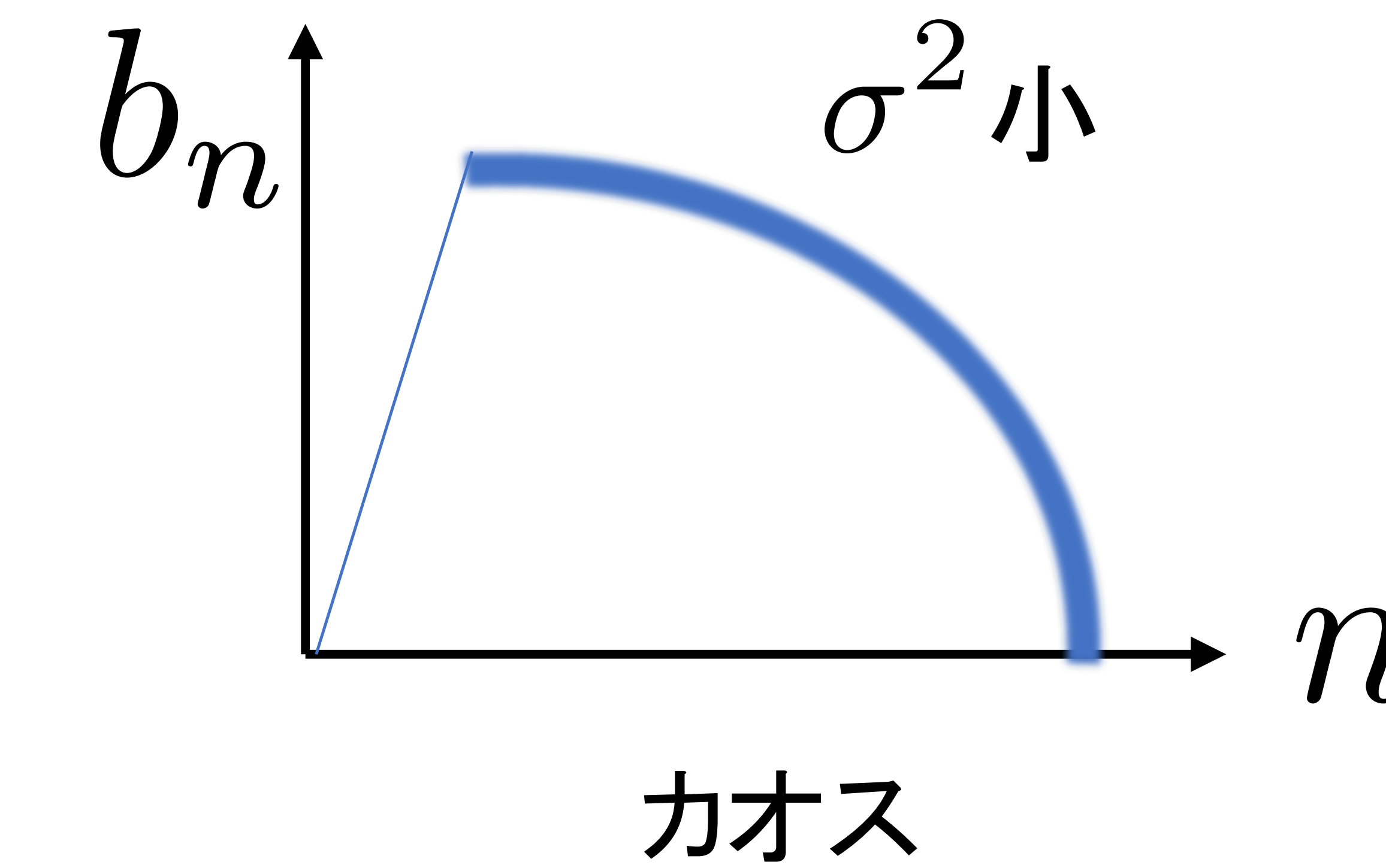
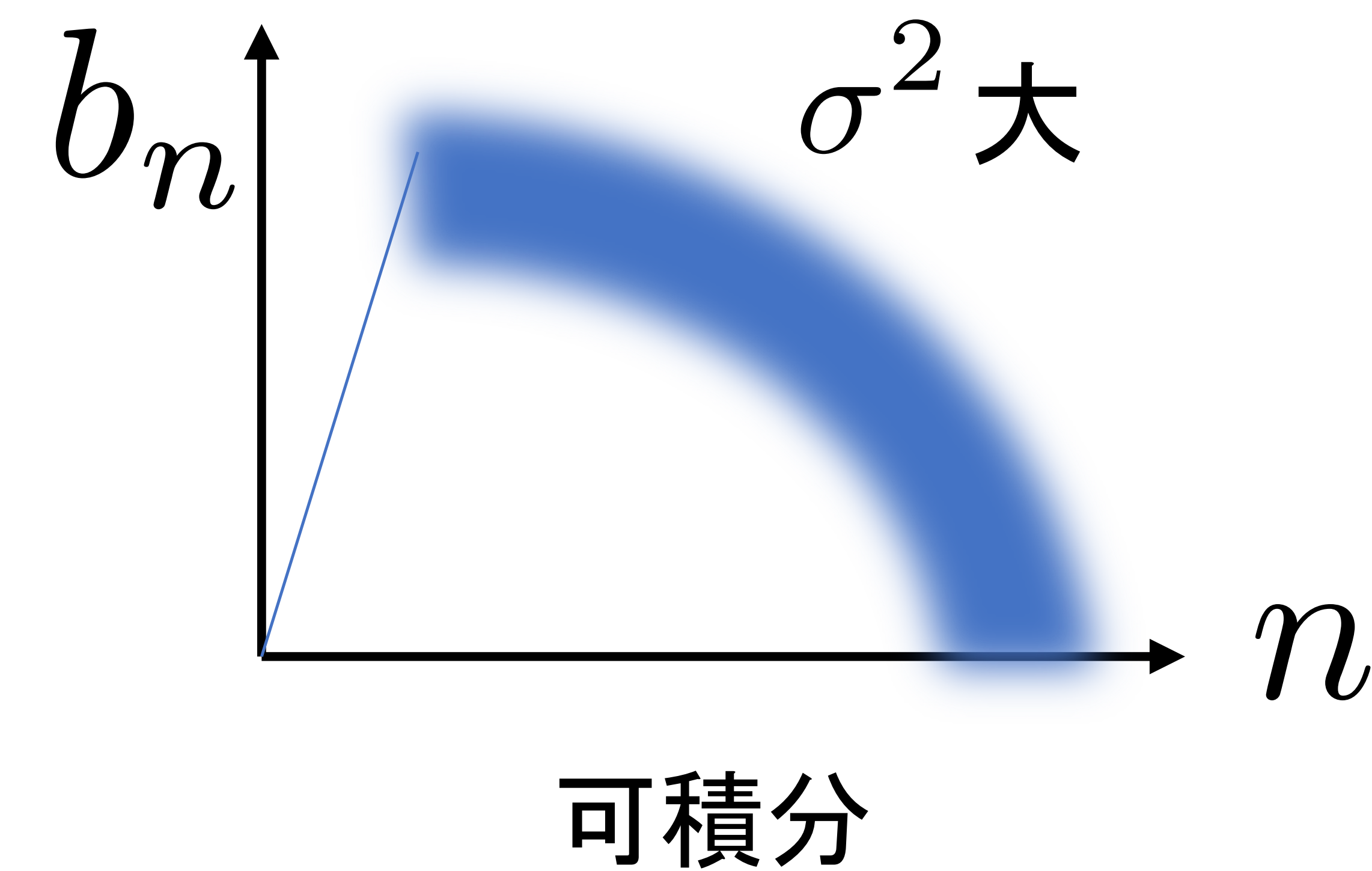
力オス性とKrylov複雜性

- 予想: 量子力オス系ではKrylov複雜性は指数増大する [Parker et al. 2018]



- 予想: Lanczos係数の振る舞いについて、[Rabinovici, Sánchez-Garrido, Shir, Sonner 2021, 2022]

$$\sigma^2 \equiv \langle x^2 \rangle - \langle x \rangle^2, \quad x_i \equiv \ln \left(\frac{b_{2i-1}}{b_{2i}} \right)$$



Outline

レビュー: カオスとKrylov複雑性 (5)

ビリヤードにおけるKrylov複雑性 ($4+\alpha$)

まとめ

量子力学におけるKrylov複雑性

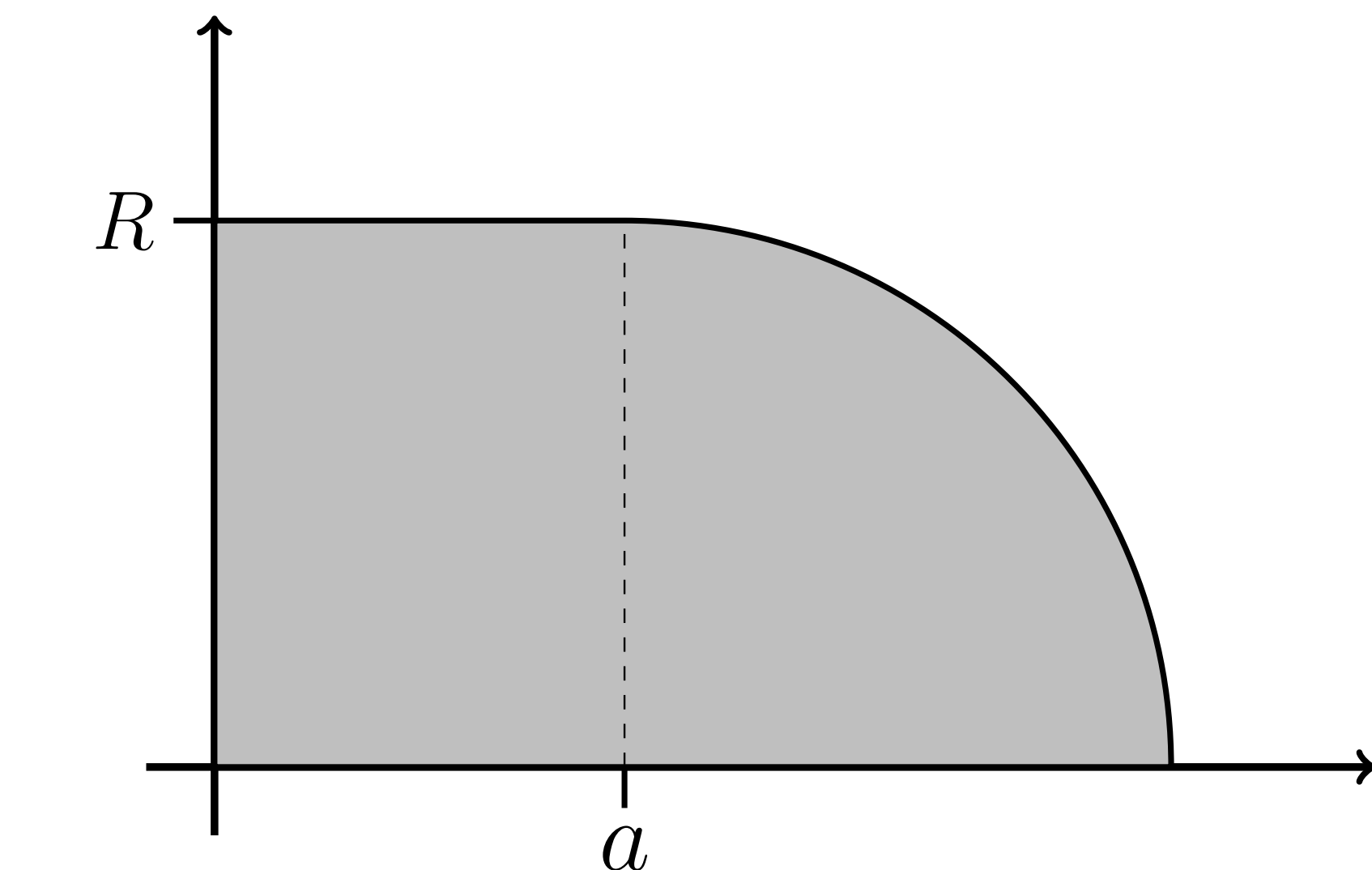
量子力学系 $H = p_1^2 + p_2^2 + V(x, y)$

Krylov複雑性を以下のように評価:

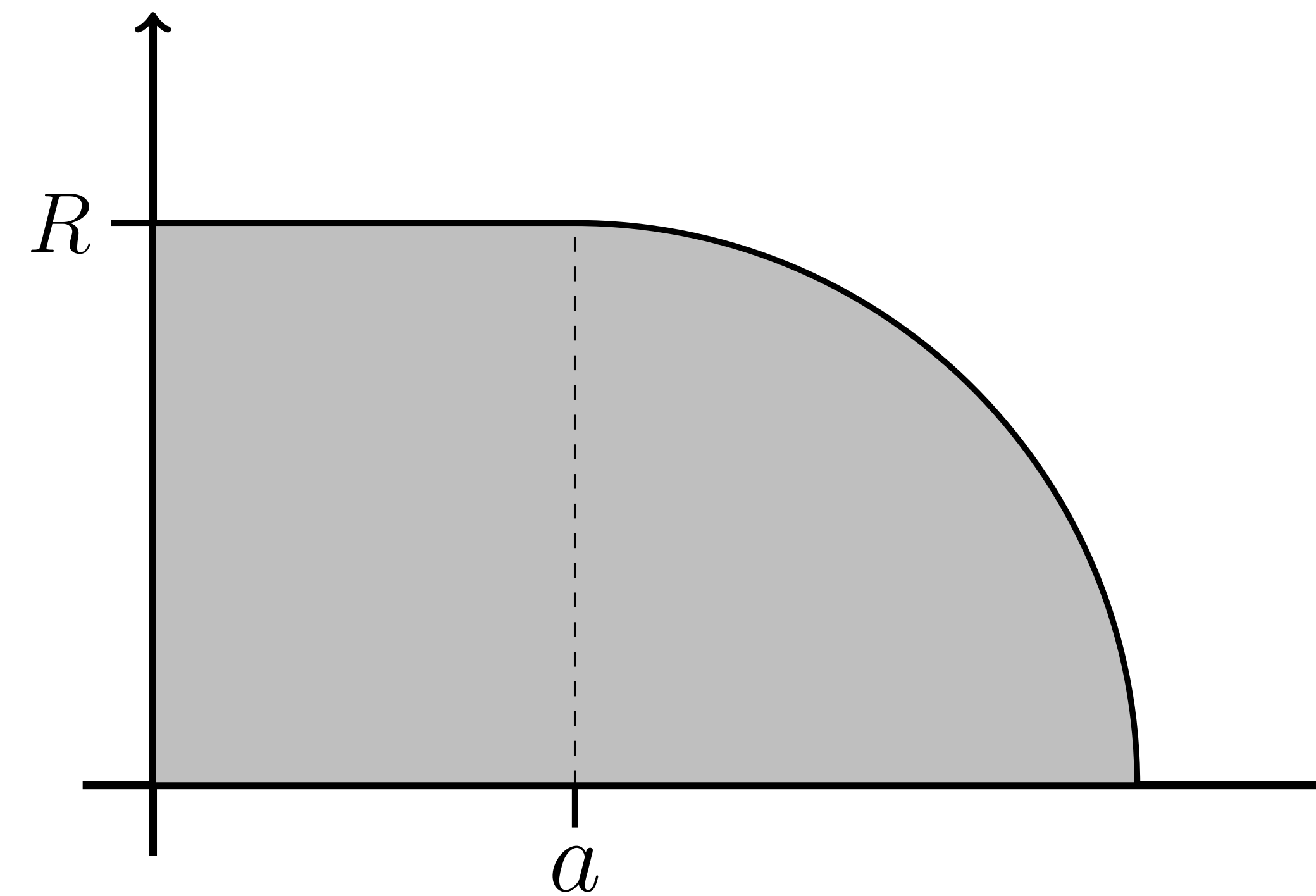
- 無限個のエネルギー準位のうち、初めの $N_{\max} = 100$ 個のみに注目する
- シュレーディンガーアルゴリズムを数値的に解く
- 運動量演算子をエネルギー固有状態について行列表示

$$P_{mn} \equiv \langle m | p_1 | n \rangle, \quad H | n \rangle = E_n | n \rangle \quad m, n = 1, \dots, N_{\max}$$

- Lanczos法によって演算子を正規直交化し、Krylov複雑性を計算



Classical/quantum chaos in the stadium billiard

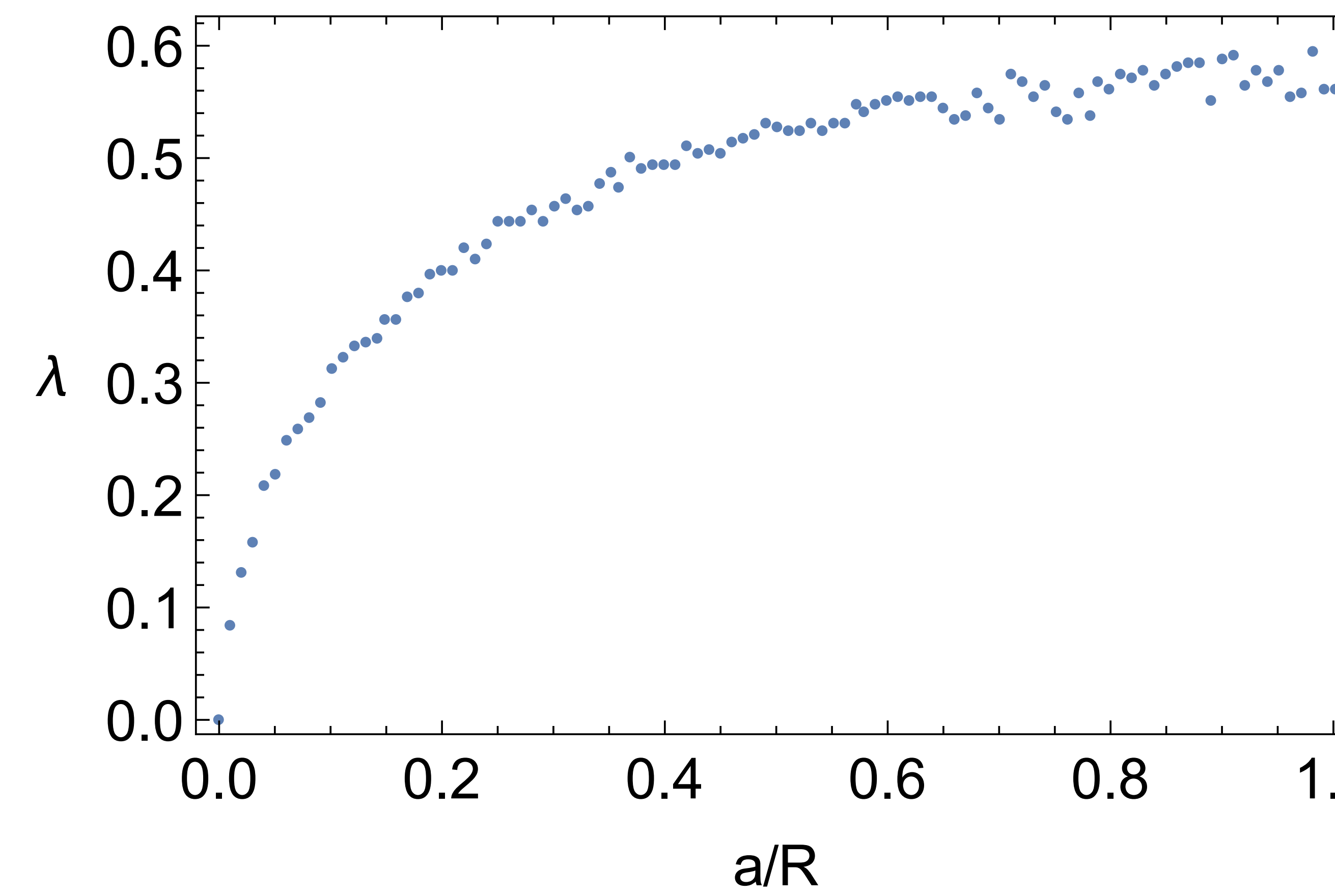


The geometry is characterized by a/R

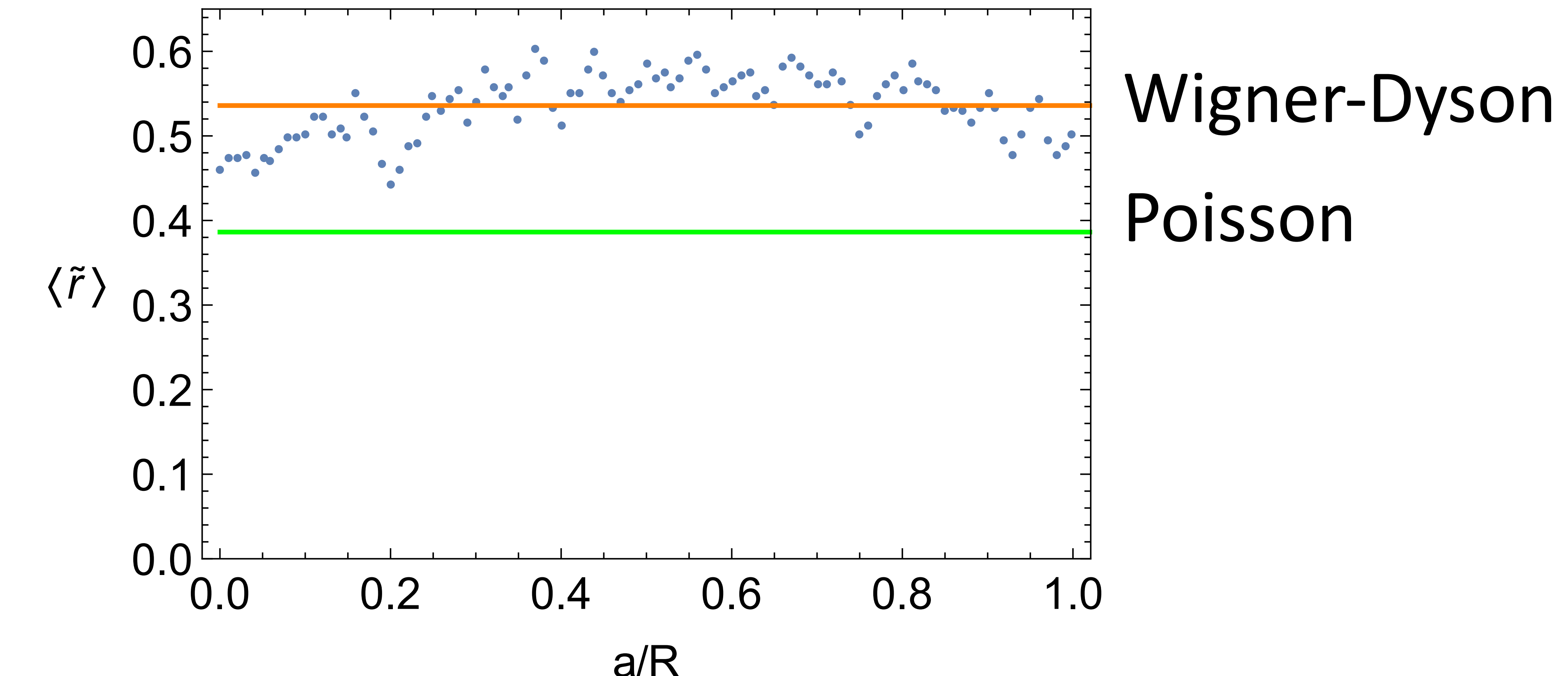
$a/R = 0$: non-chaotic

$a/R > 0$: chaotic

Classical Lyapunov exponent

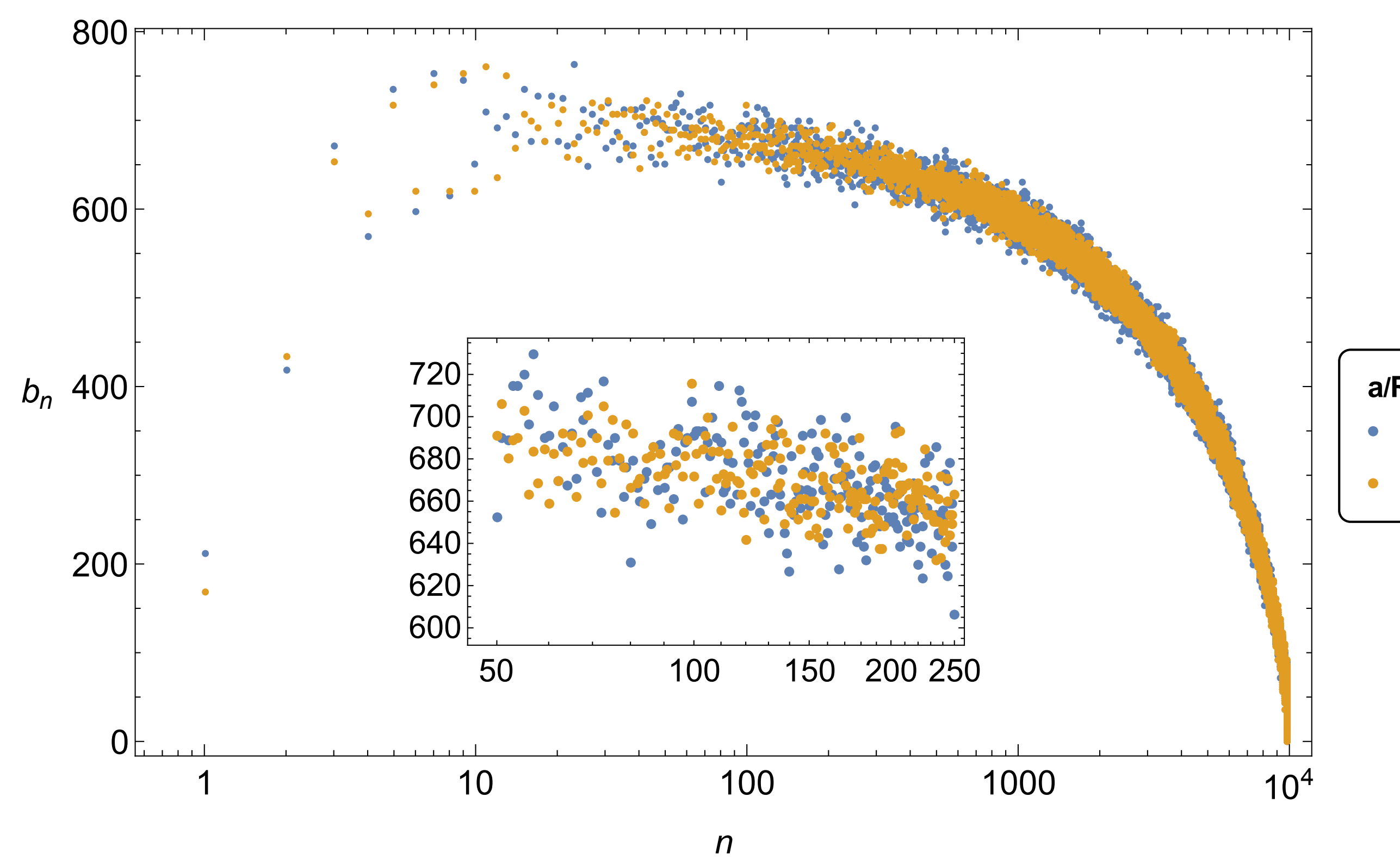


The ratio of consecutive spacings

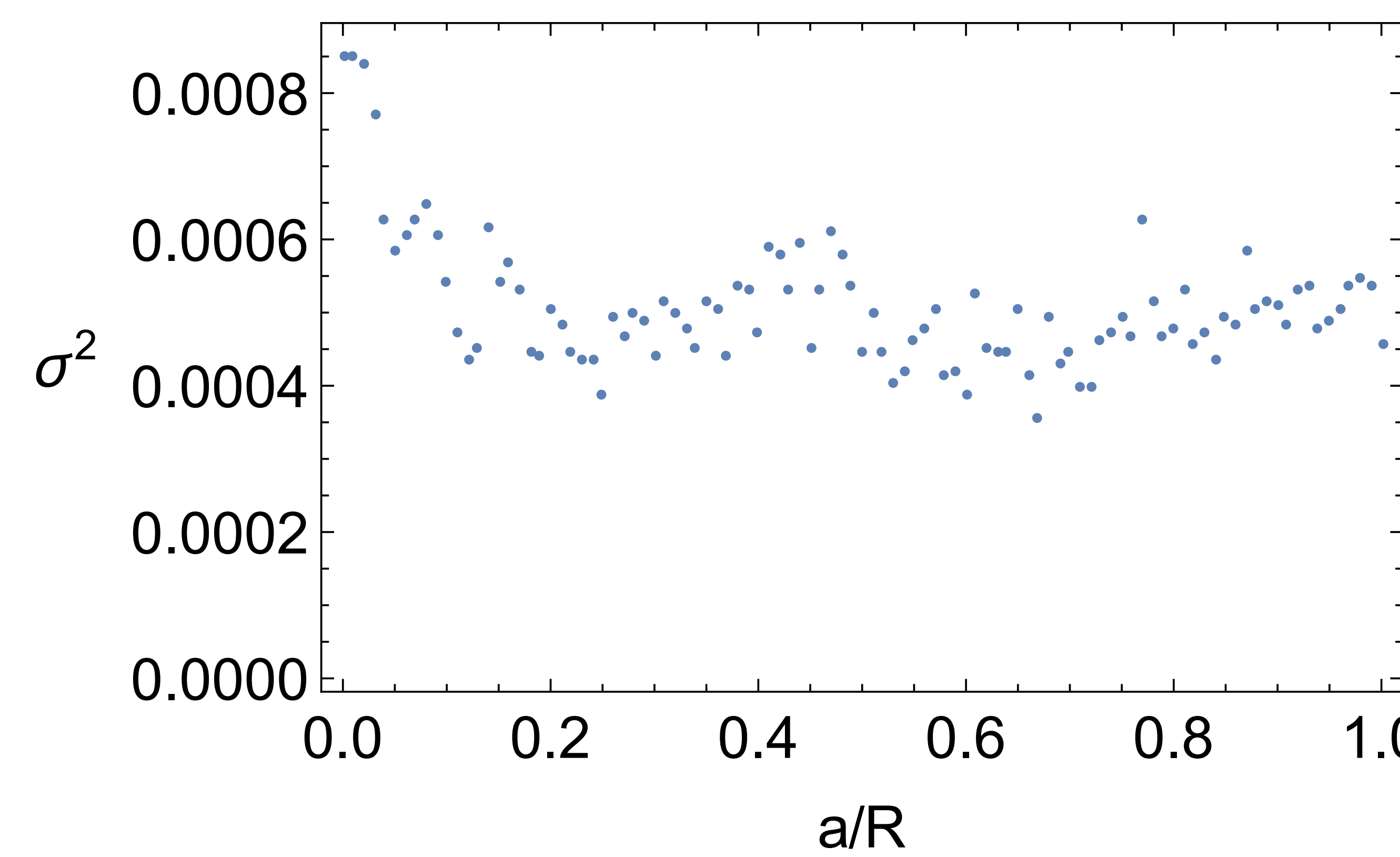


Krylov operator complexity

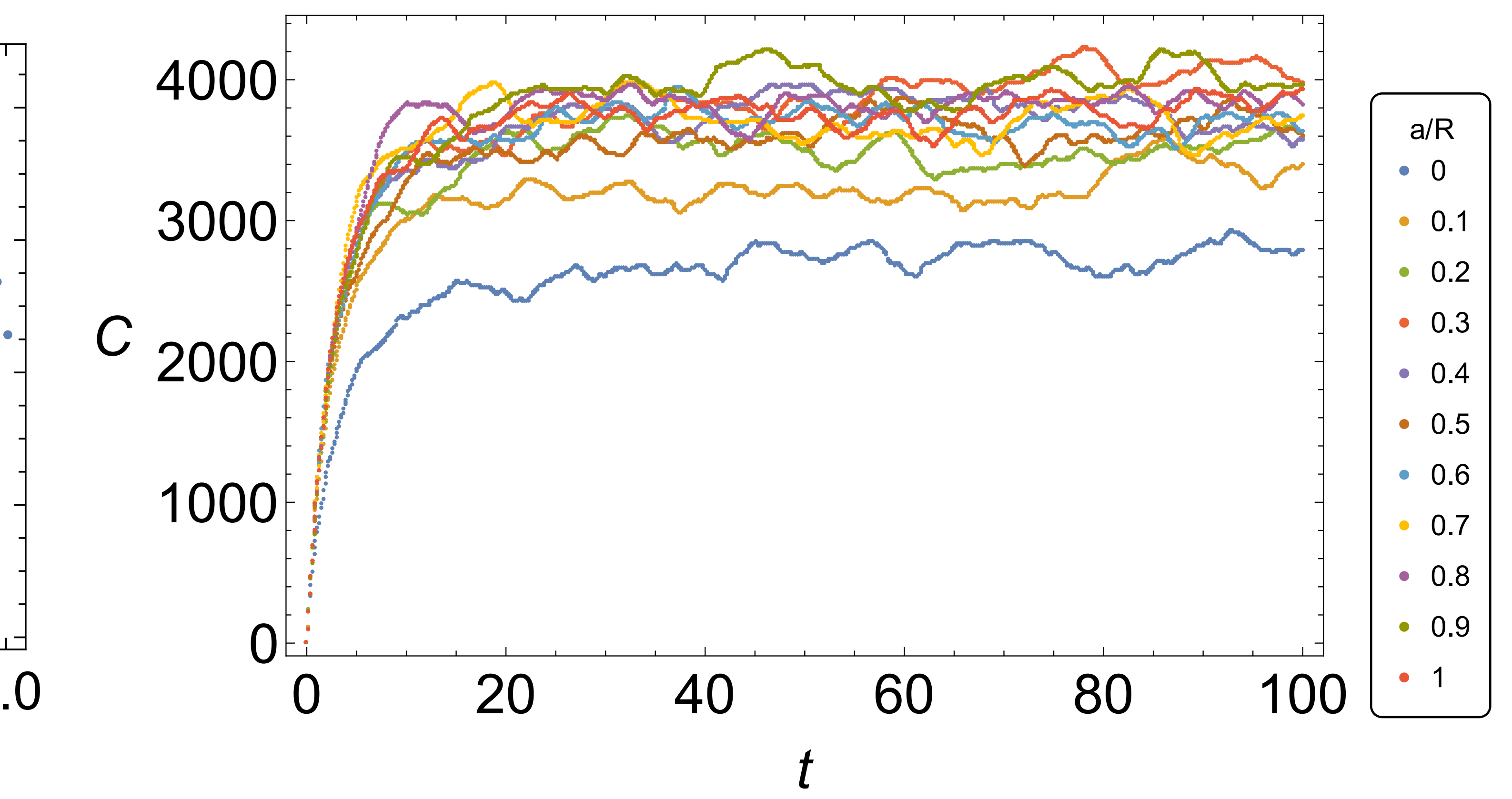
Lanczos coefficients



Variances



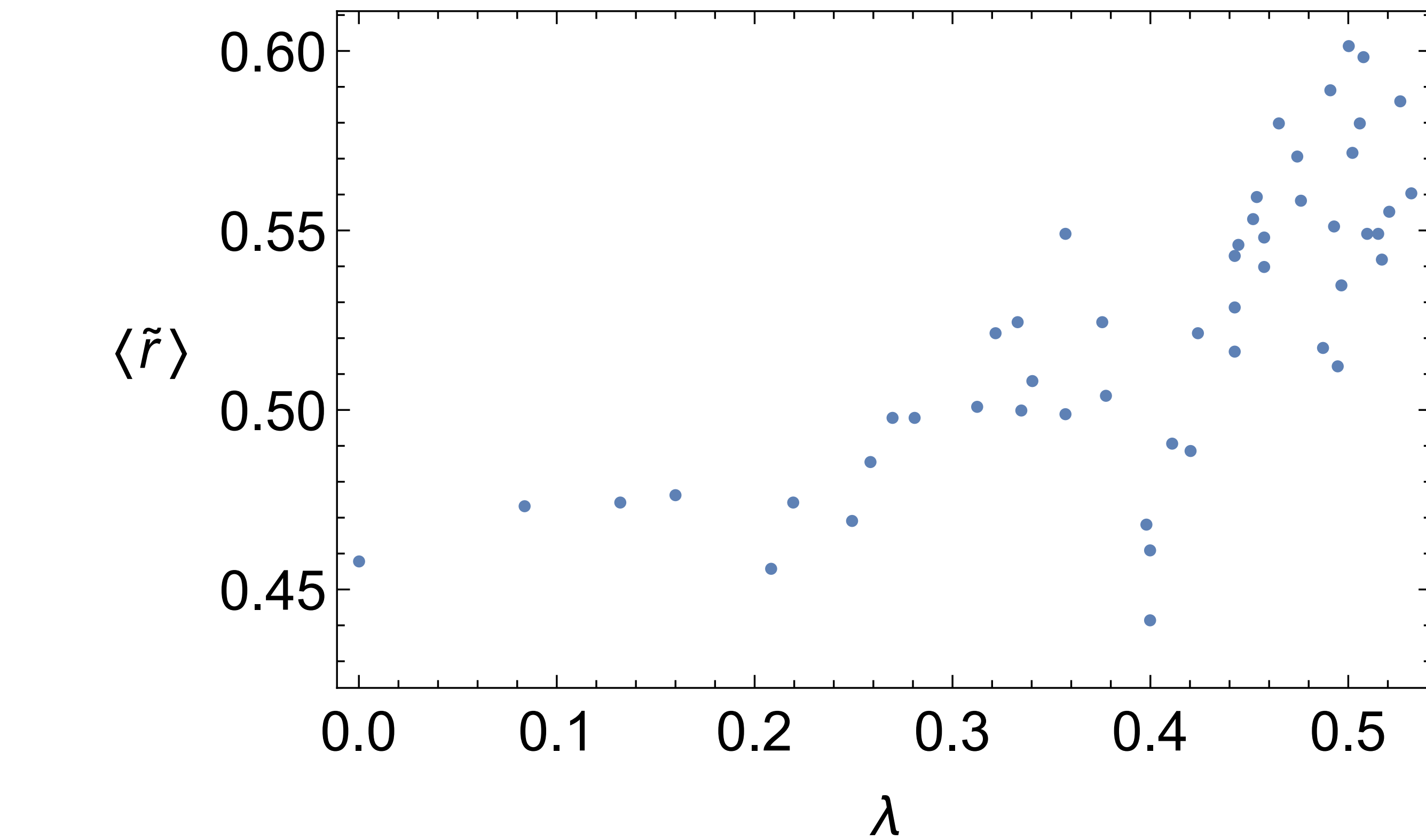
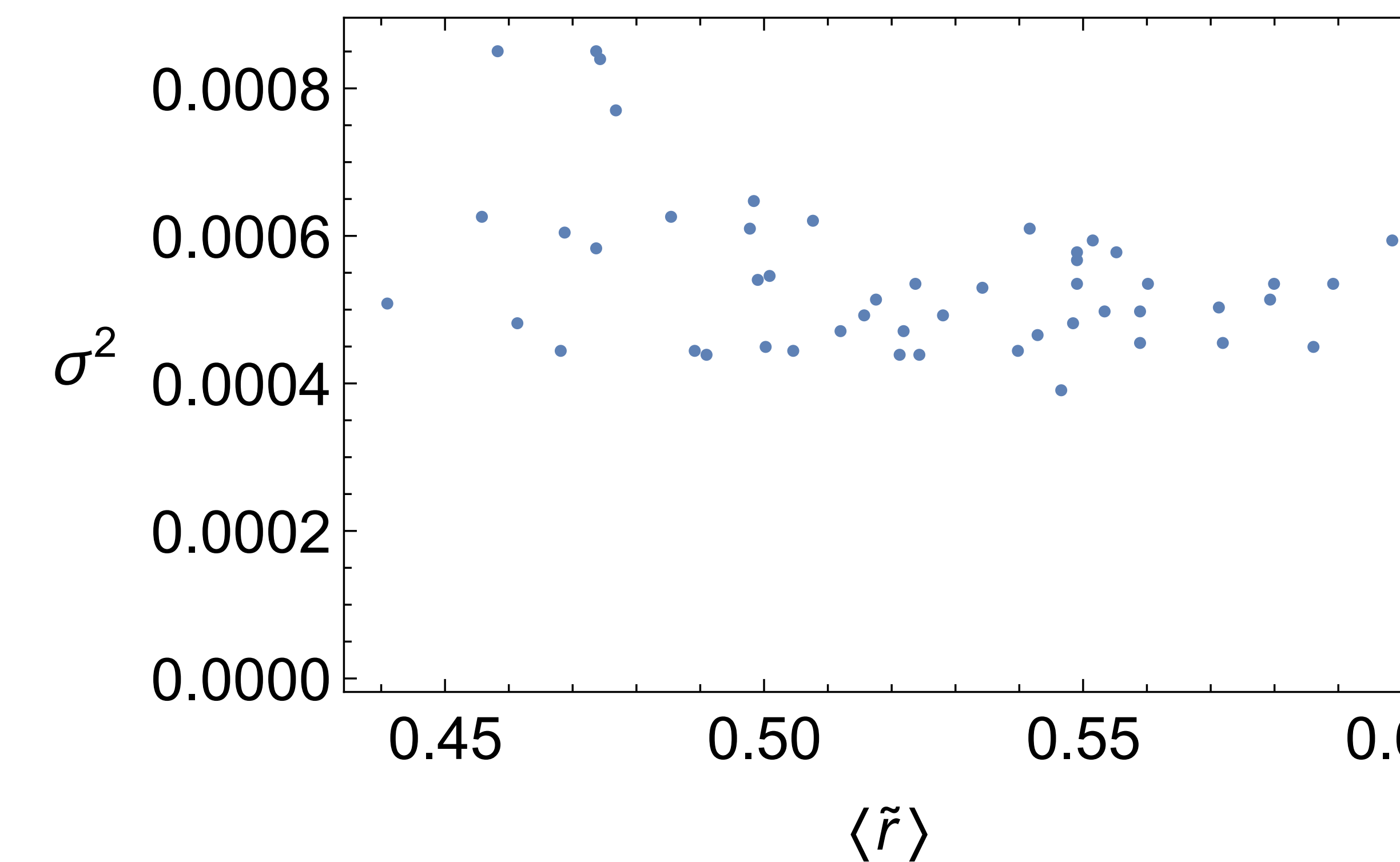
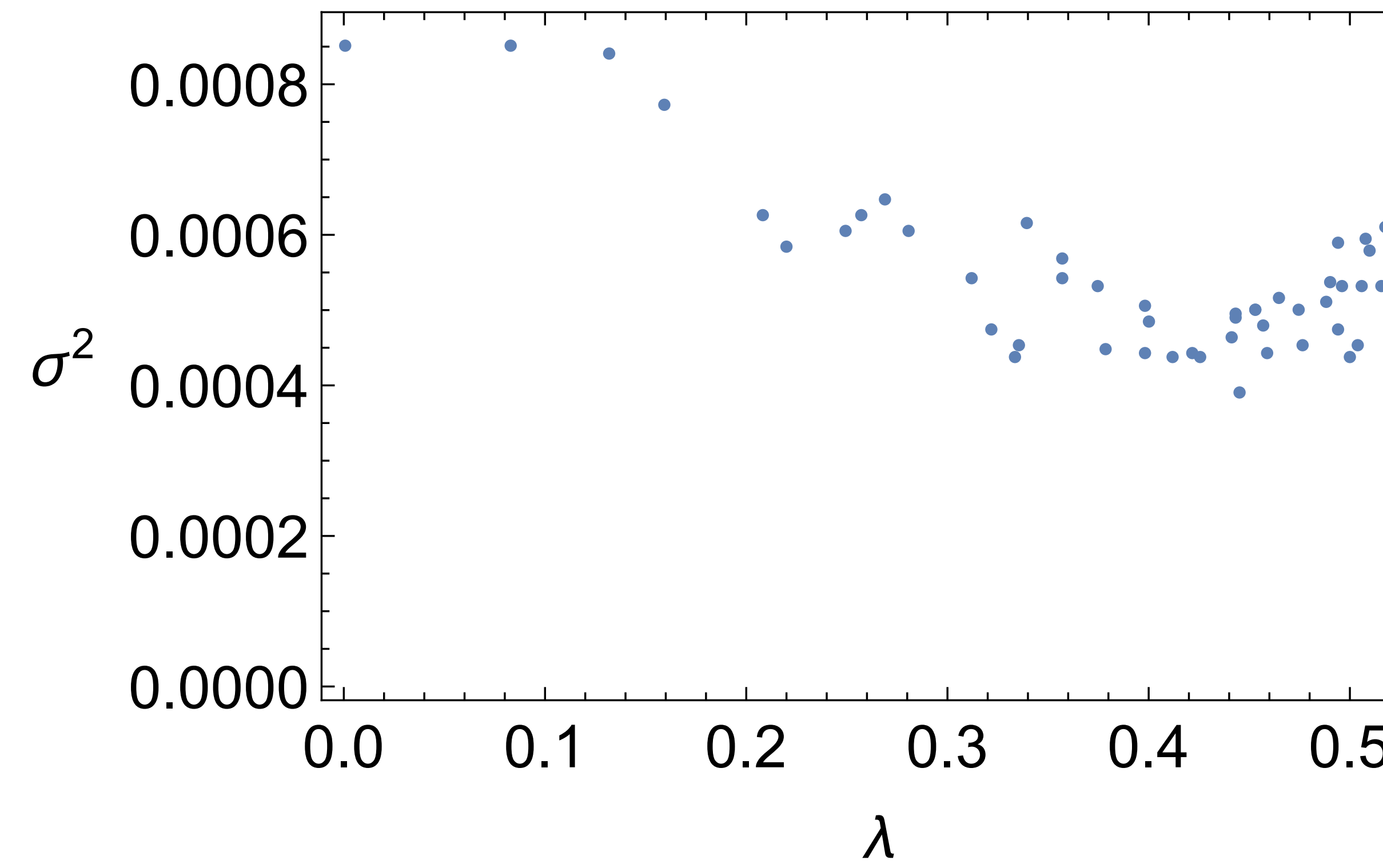
Krylov complexity



$$\sigma^2 \equiv \text{Var}(x_i) = \langle x^2 \rangle - \langle x \rangle^2, \quad x_i \equiv \ln\left(\frac{b_{2i-1}}{b_{2i}}\right)$$

- The variance becomes larger in the non-chaotic regime compared to the chaotic regime.
- The Krylov complexity does not grow exponentially.

Correlation in the stadium billiard



Correlation coefficients

λ vs σ^2	-0.720372
$\langle \tilde{r} \rangle$ vs σ^2	-0.391709
λ vs $\langle \tilde{r} \rangle$	0.741396

- Significant correlations exist among σ^2 , λ , and $\langle \tilde{r} \rangle$.
- σ^2 can be a measure of quantum chaos.

Correlation coefficients between data A and B \equiv
$$\frac{\text{E}[(A - \text{E}[A])(B - \text{E}[B])]}{\sqrt{\text{E}[(A - \text{E}[A])^2] \text{E}[(B - \text{E}[B])^2]}}$$

実は、量子状態に対してもKrylov複雑性は定義可能

Krylov state complexity

[Balasubramanian, Caputa, Magan, Wu 2022]

The Krylov state complexity (spread complexity) for a Schrödinger state

$$|\psi(t)\rangle = e^{-iHt}|\psi\rangle = \sum_{n=0}^{\infty} \frac{(it)^n}{n!} H^n |\psi\rangle$$

is defined as follows:

1. Orthonormalization (Lanczos): $\{H^n|\psi\rangle\} \rightarrow \text{orthonormal basis } \{|K_n\rangle\}$

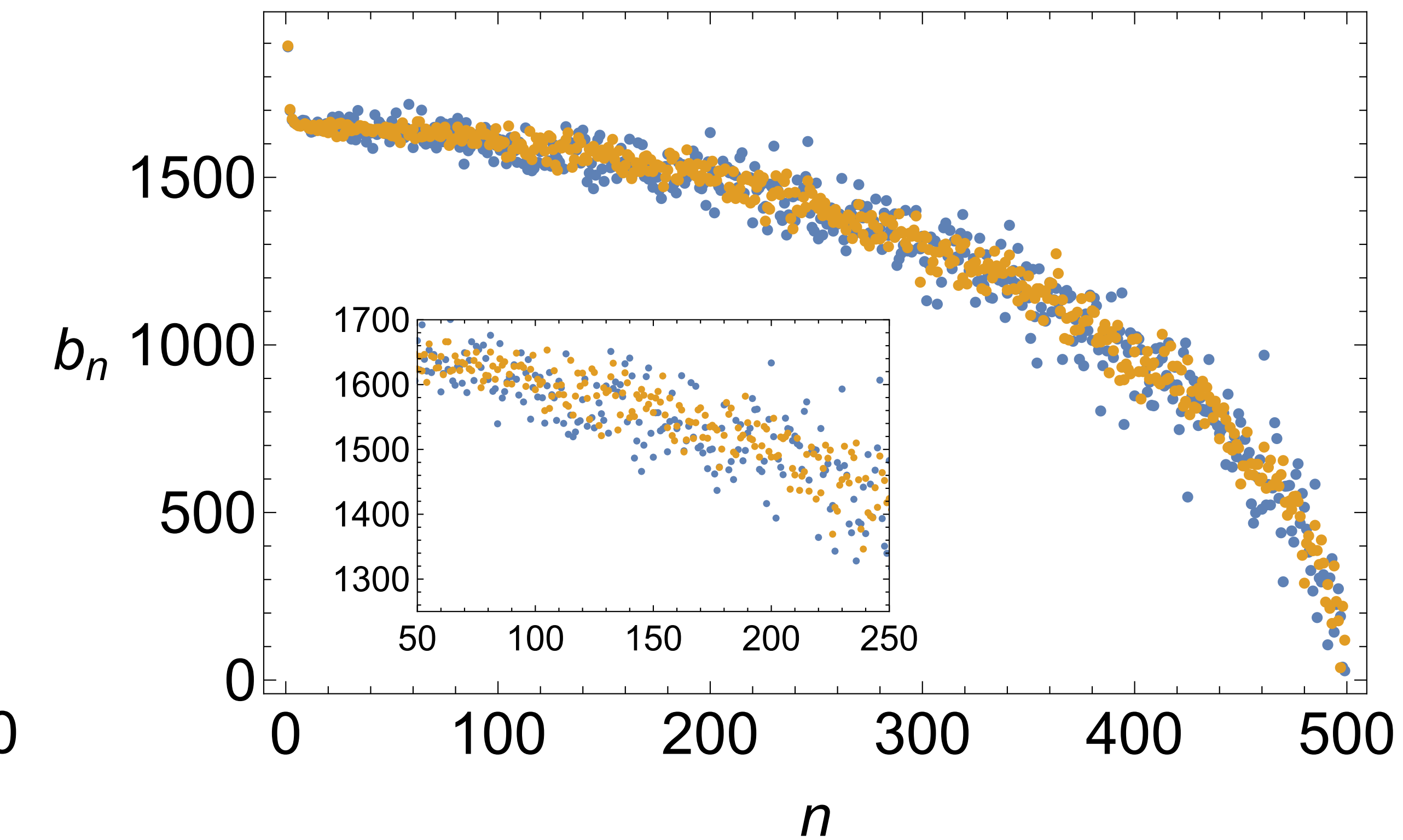
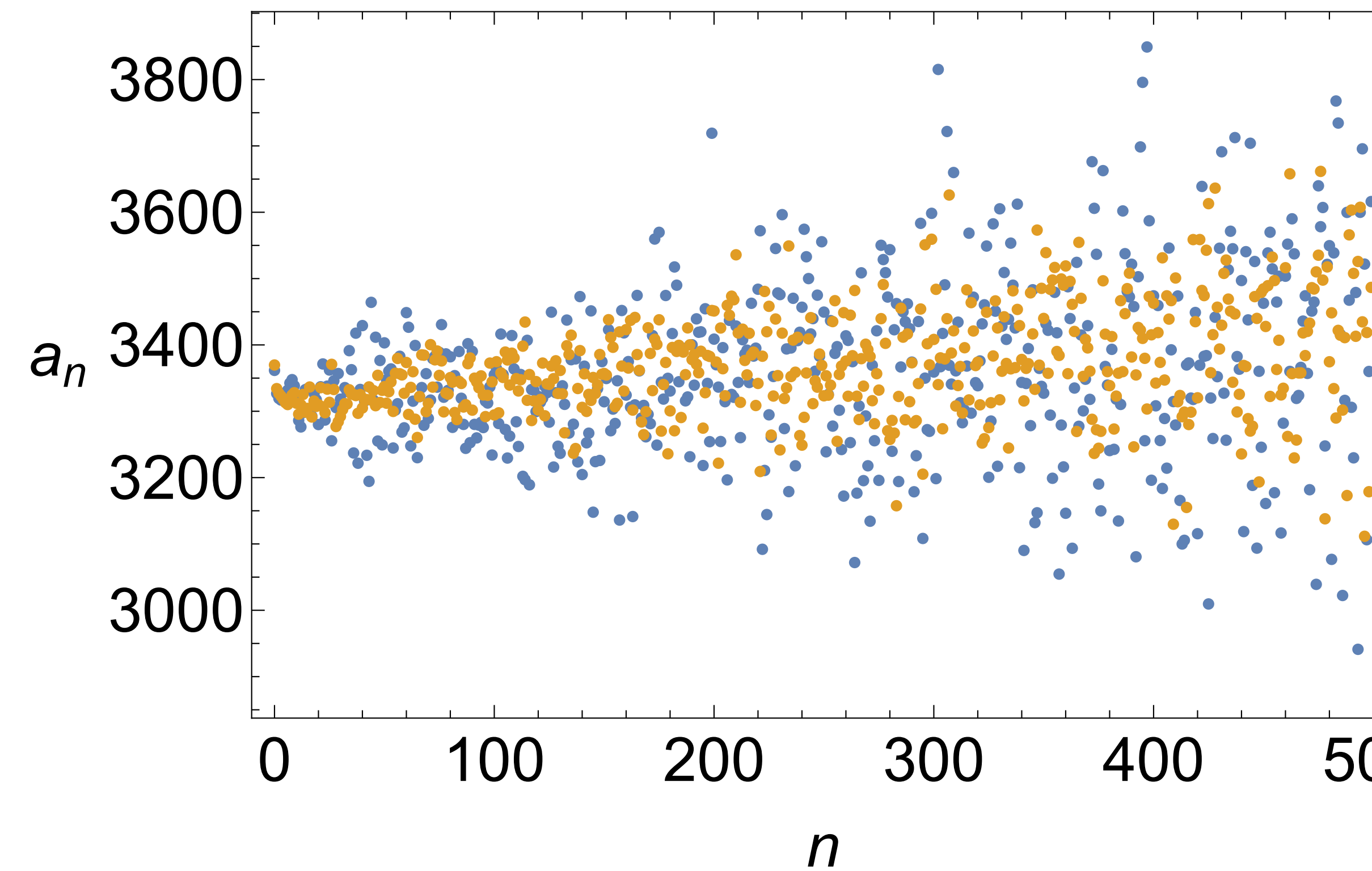
(There are two kinds of Lanczos coefficients a_n, b_n in this case)

2. Expand again the Schrödinger state as $|\psi(t)\rangle = \sum_n \psi_n(t)|K_n\rangle$

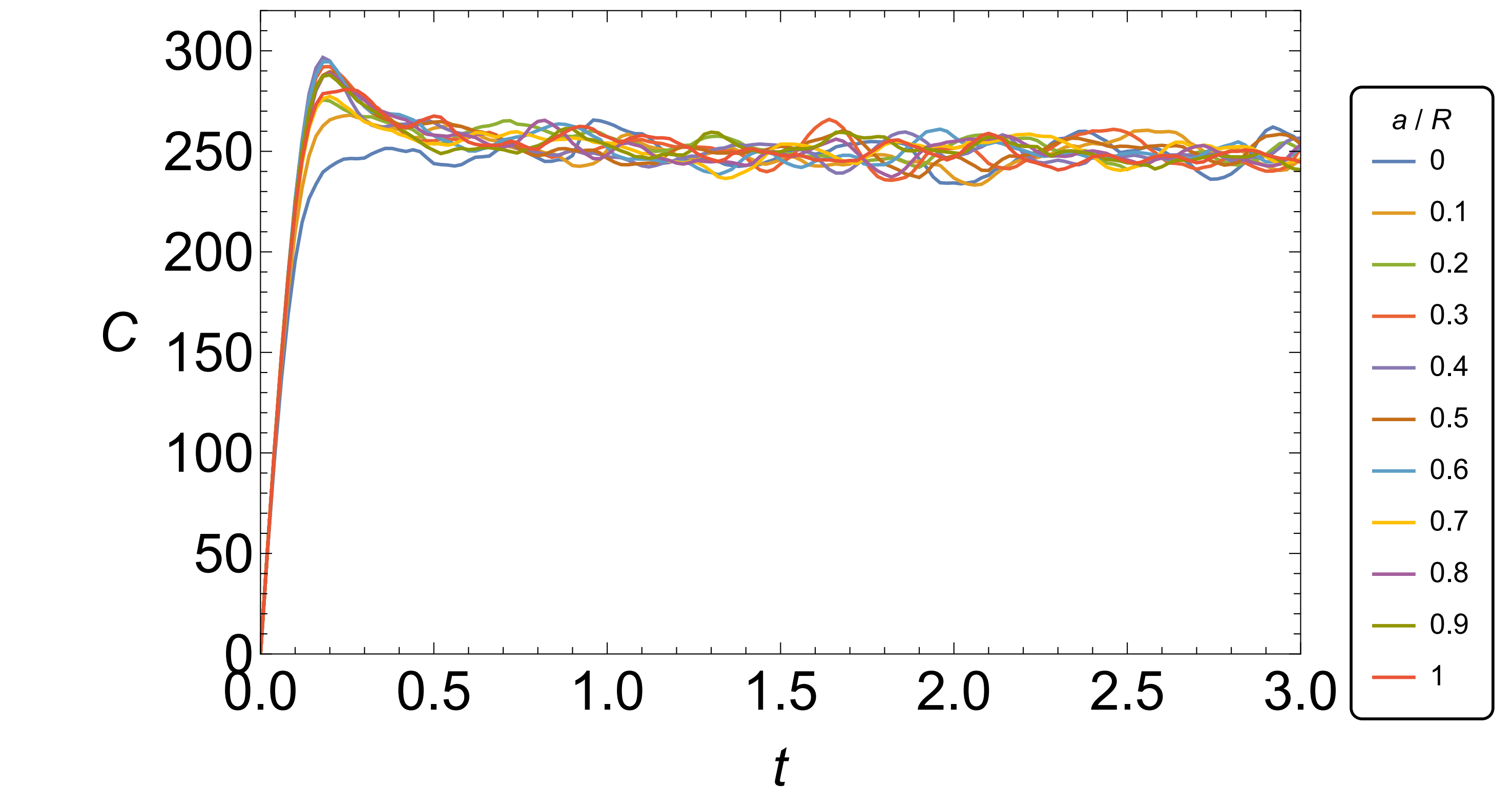
3. Krylov complexity $C_\psi(t) \equiv \sum_n n|\psi_n(t)|^2$

Krylov state complexity

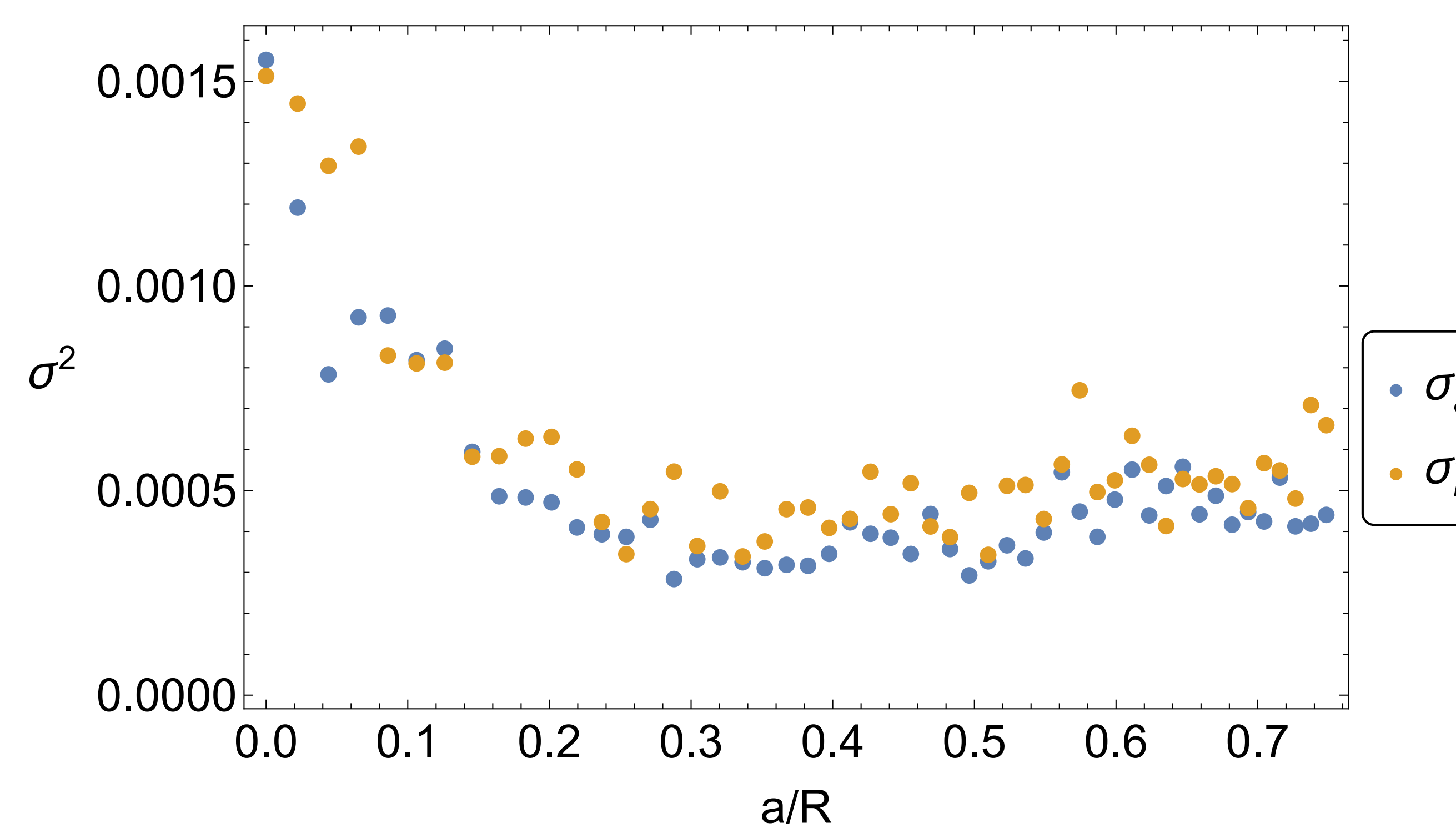
Lanczos coefficients



Krylov complexity



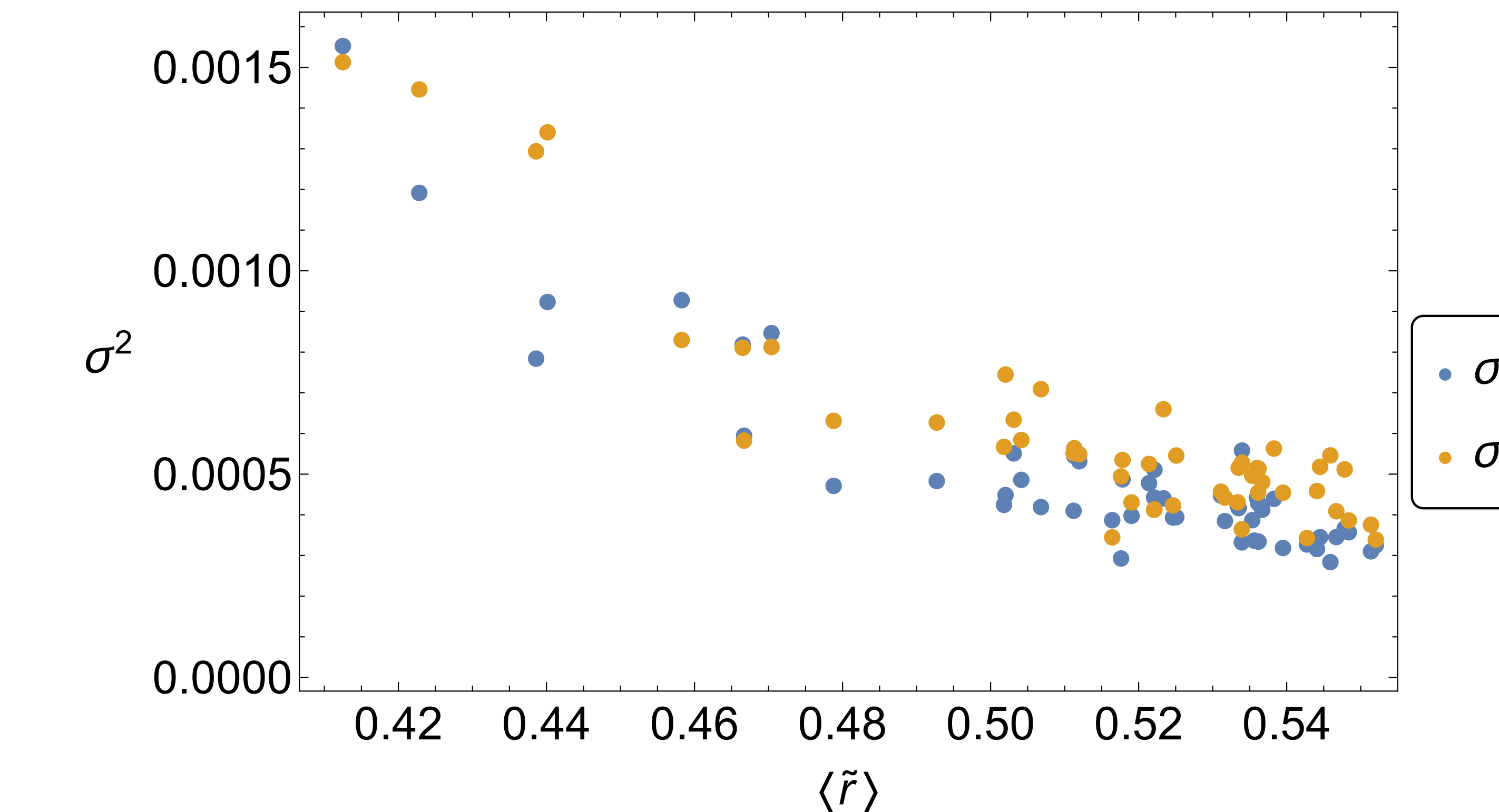
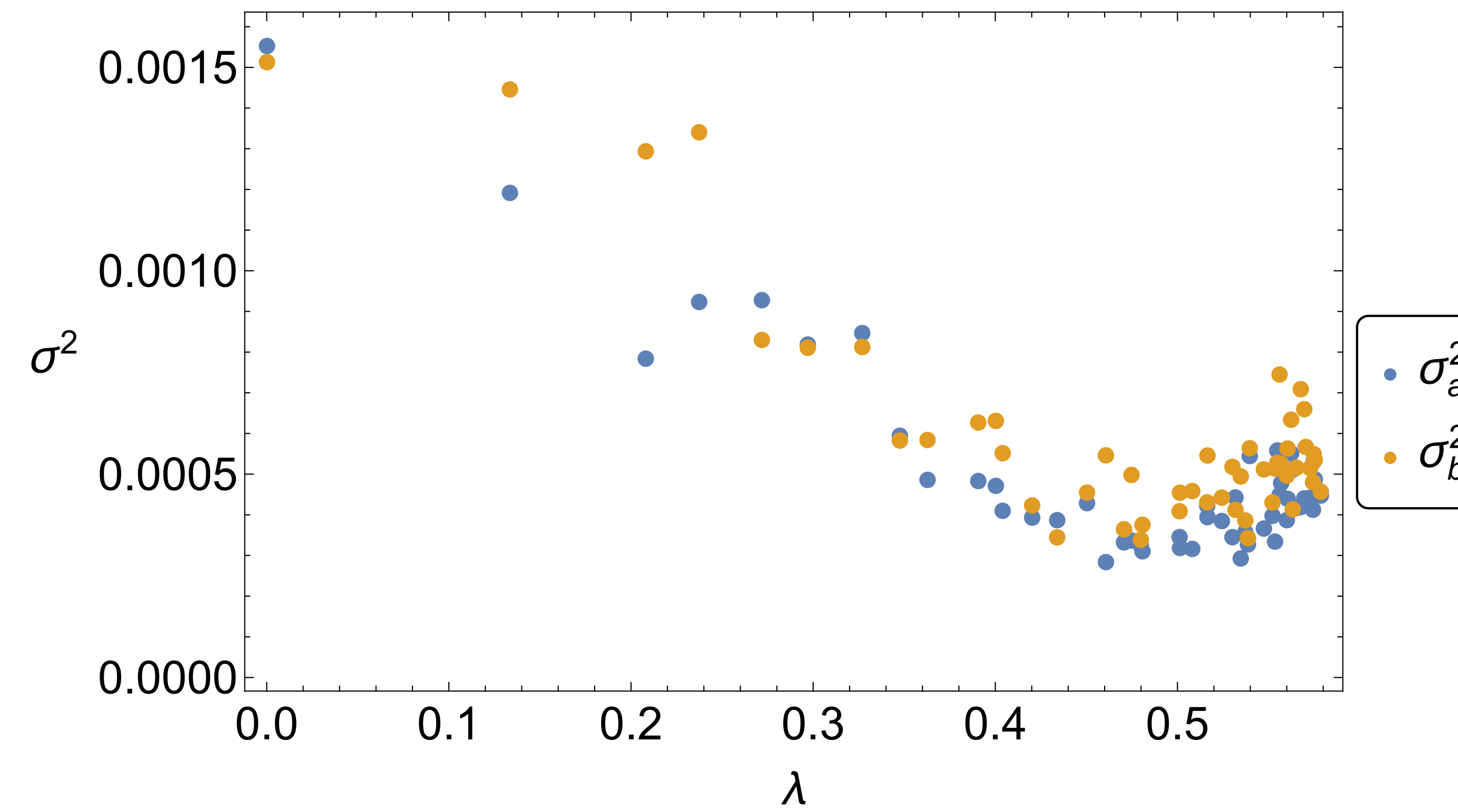
Variances



- The variance becomes larger in the non-chaotic regime compared to the chaotic regime.
- The Krylov complexity does not grow exponentially.
- The peak value of Krylov state complexity depends on a/R .

The peak behavior [Balasubramanian, Caputa, Magan, Wu 2022]
[Erdmenger, Jian, Xian 2023]

Correlation in the stadium billiard



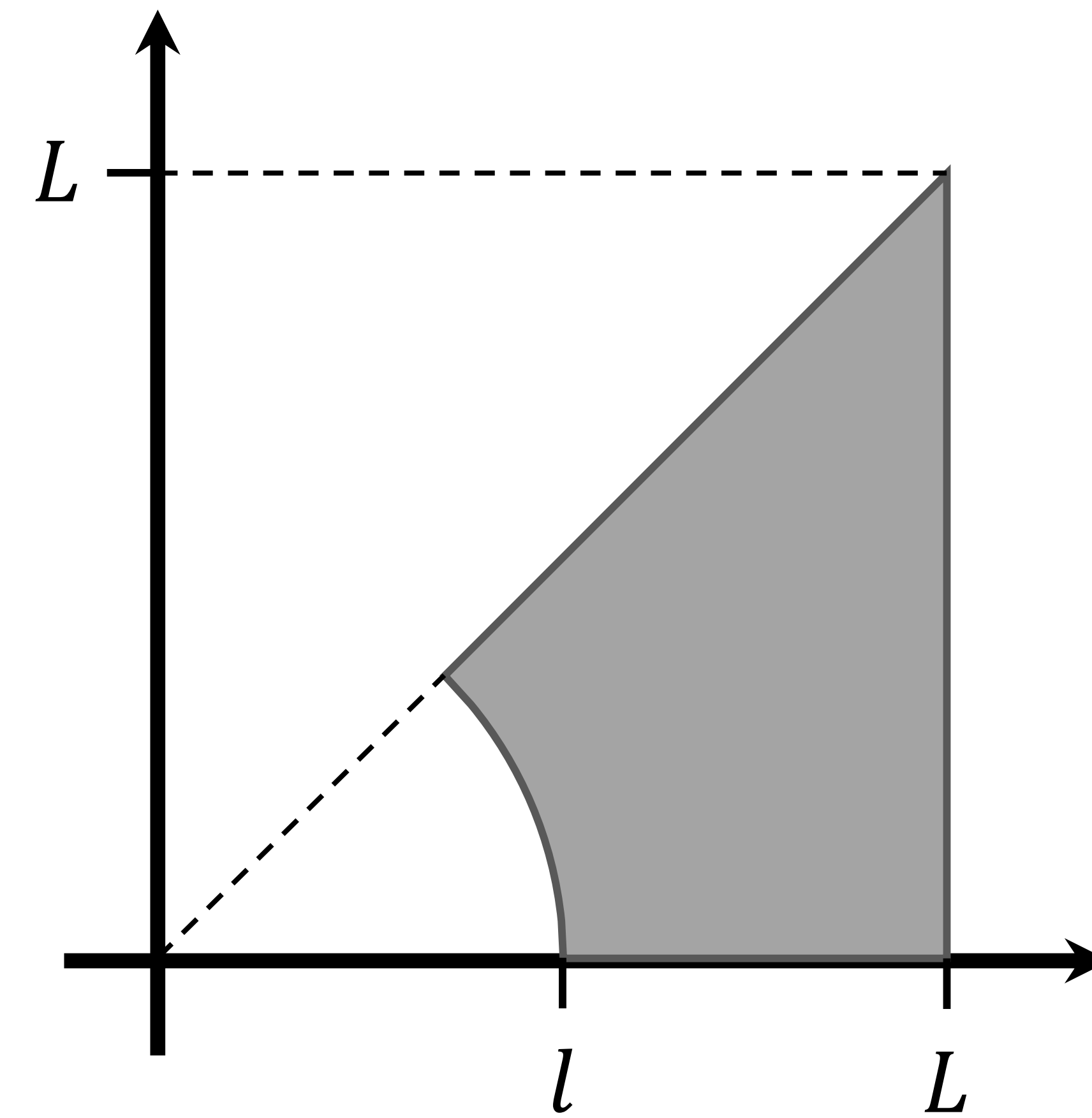
Correlation coefficients

λ vs σ_a^2	-0.832395
λ vs σ_b^2	-0.806238
$\langle \tilde{r} \rangle$ vs σ_a^2	-0.891642
$\langle \tilde{r} \rangle$ vs σ_b^2	-0.893569

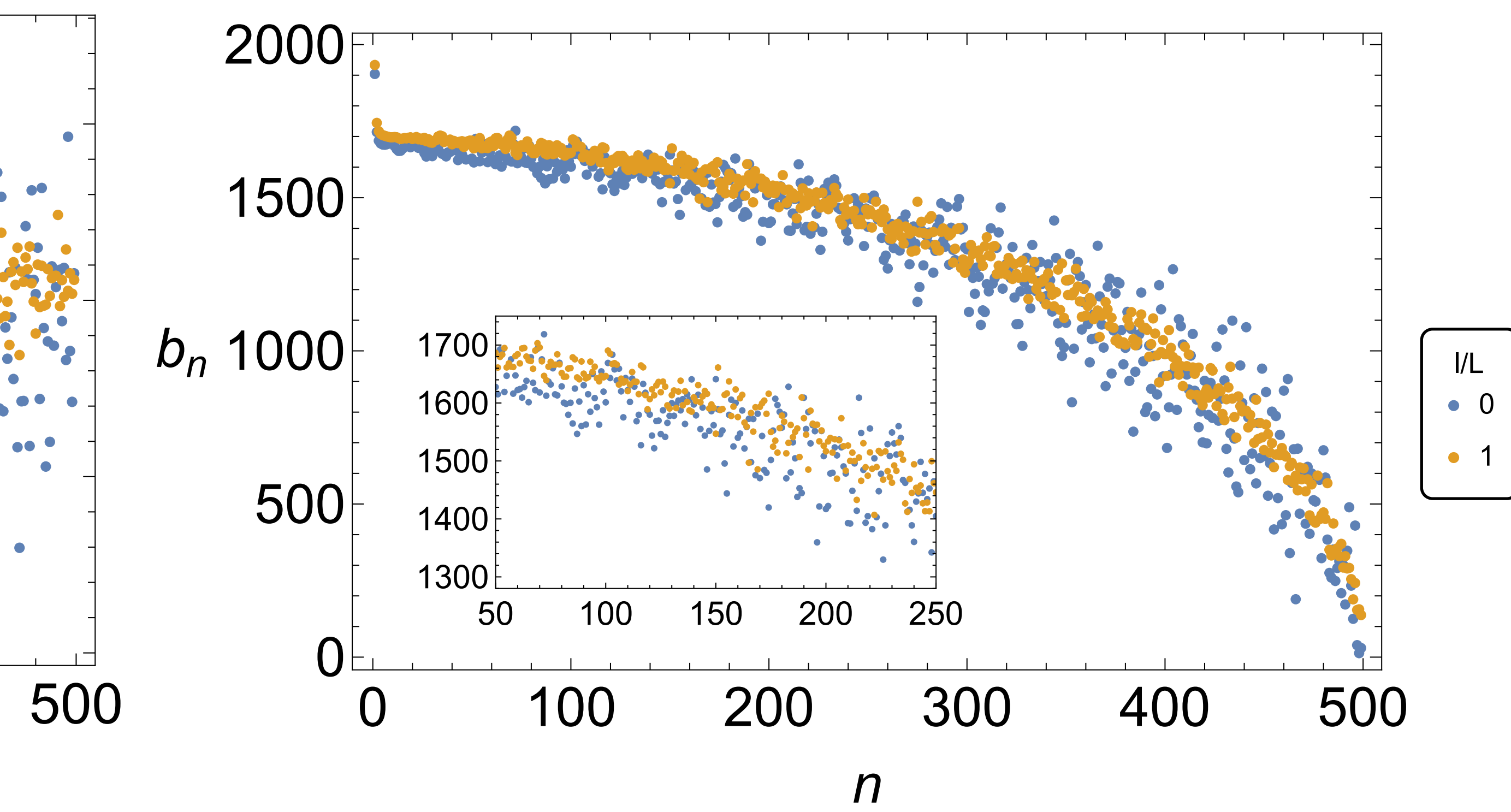
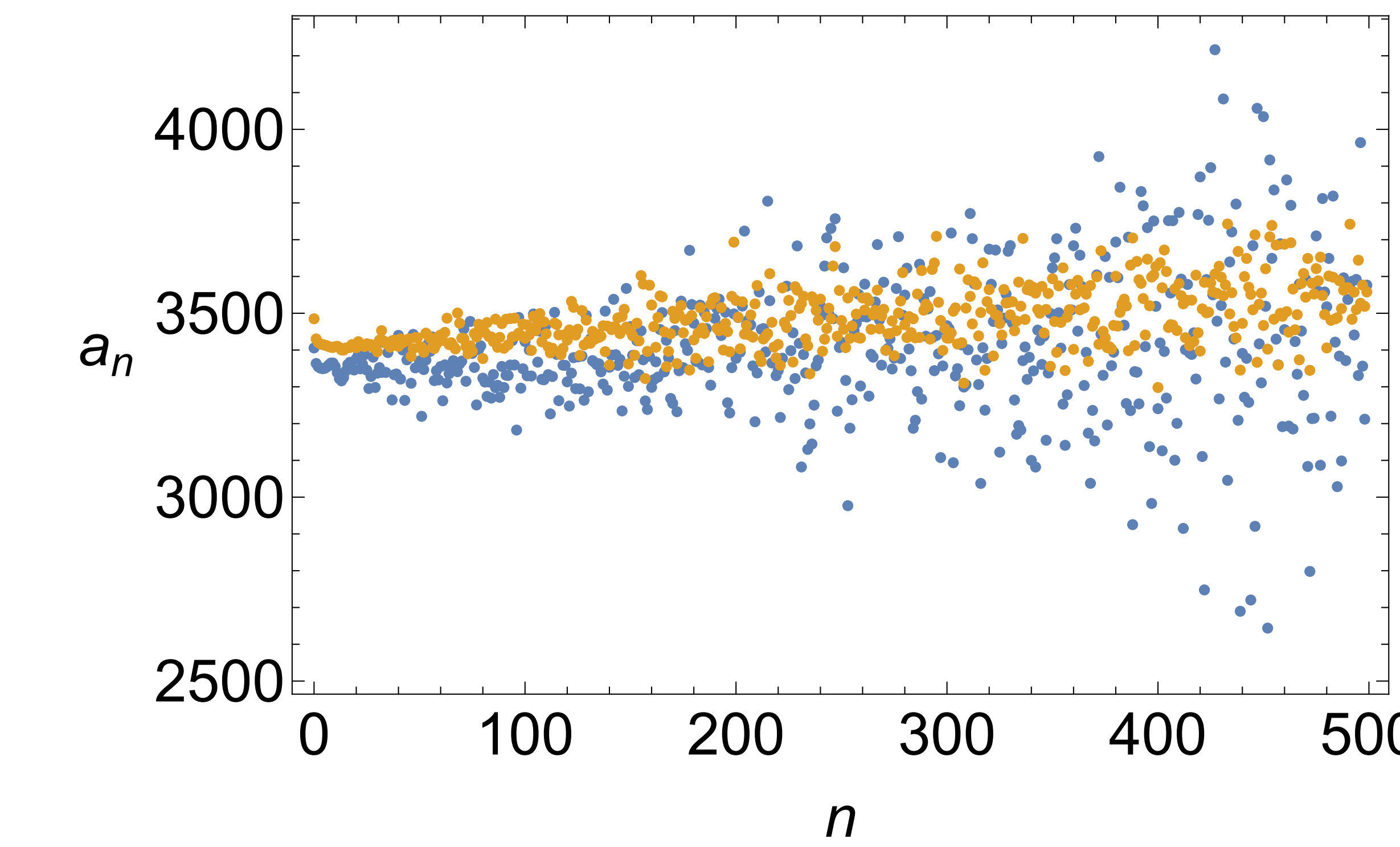
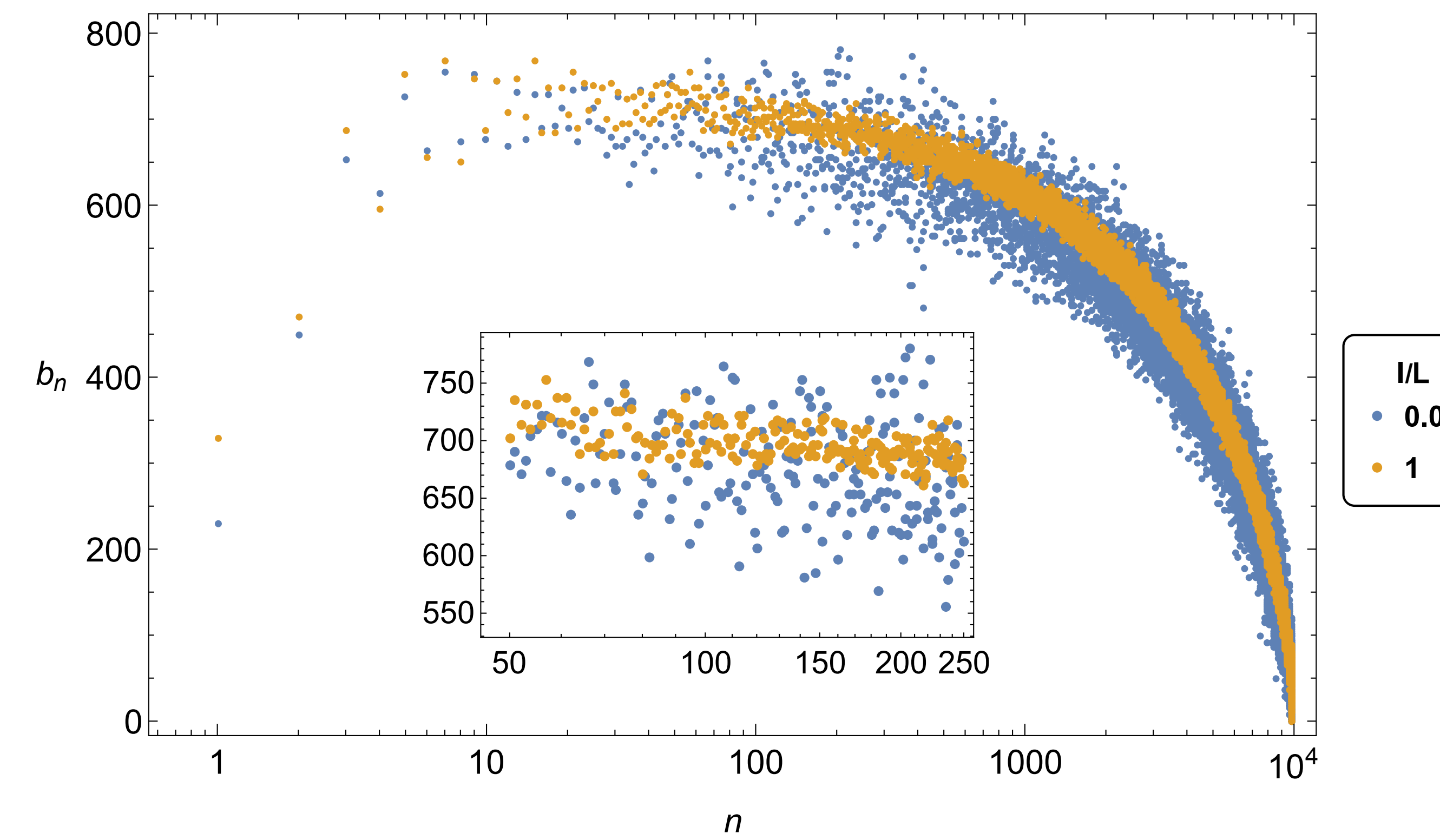
- A clear correlation exists between $\sigma_{a,b}^2$, λ , and $\langle \tilde{r} \rangle$.
- $\sigma_{a,b}^2$ can be a measure of quantum chaos.

他のビリヤード系ではどうなるか？

Universality: the Sinai billiard



- Again, the variance of Lanczos coefficients becomes larger in the non-chaotic regime compared to the chaotic regime.
- The result may be universal for generic quantum mechanics.



Outline

レビュー: カオスとKrylov複雑性 (5)

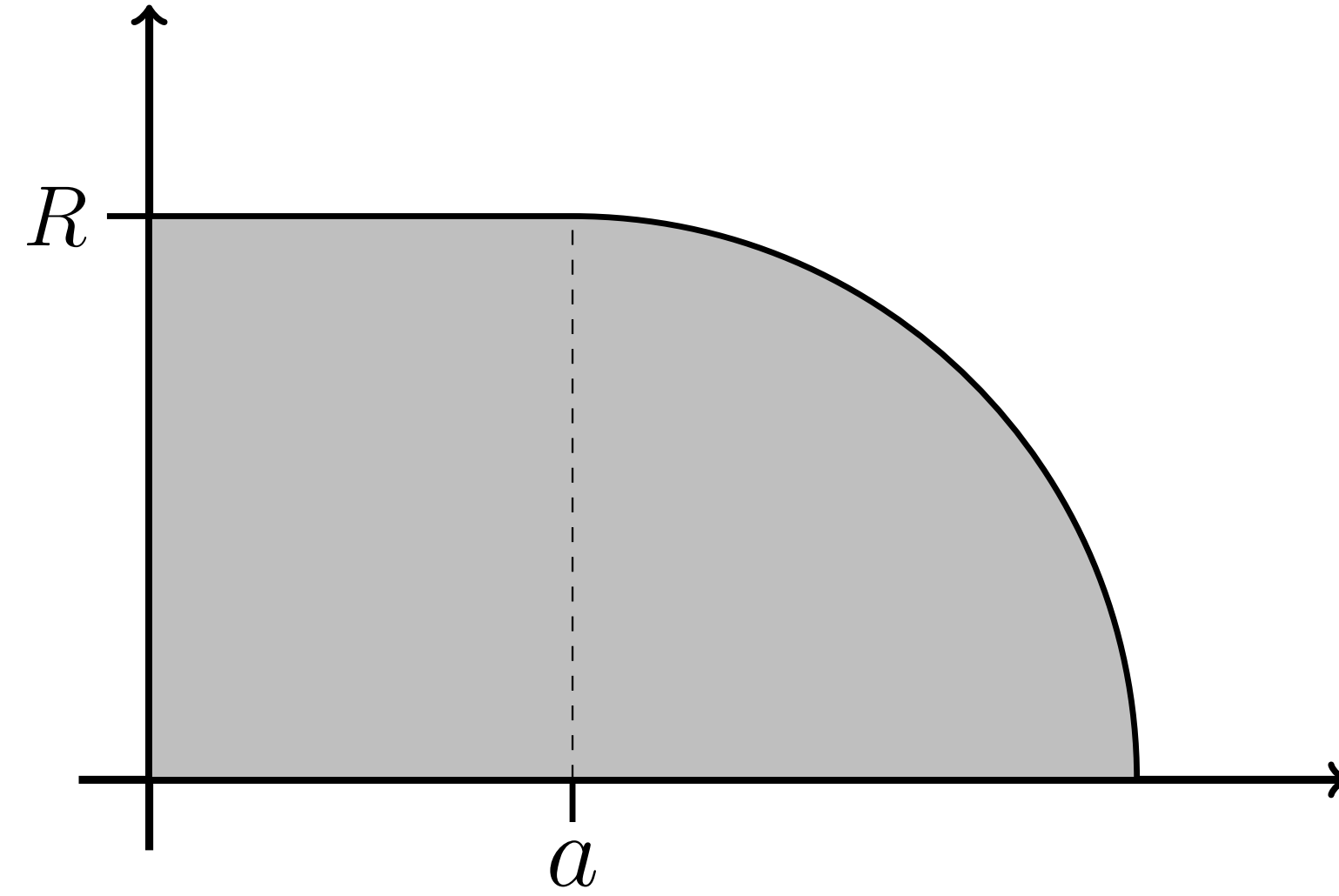
ビリヤードにおけるKrylov複雑性 ($4+\alpha$)

まとめ

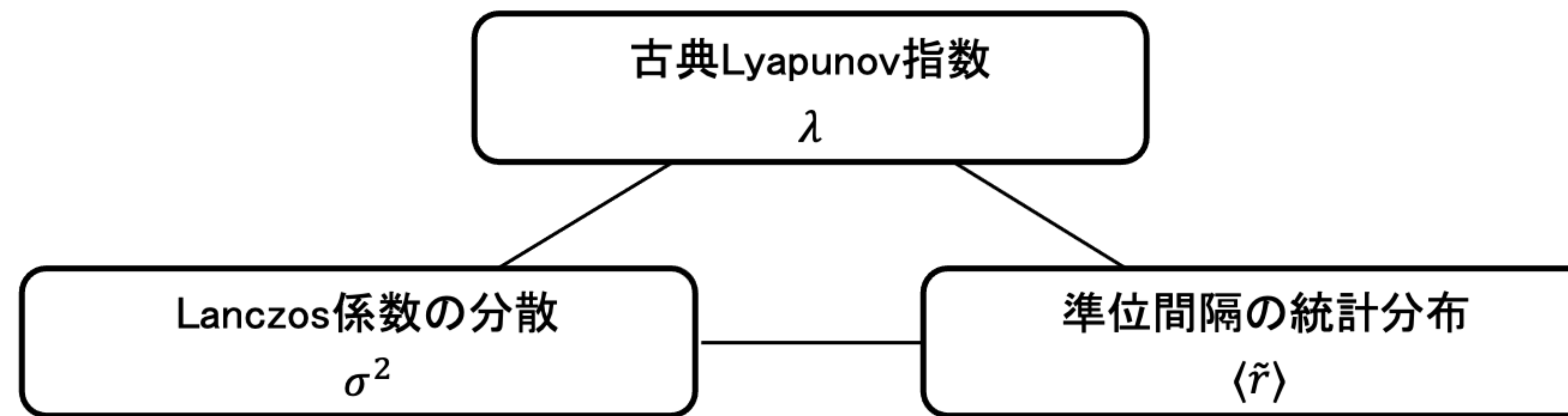
力オス性とLanczos係数の振る舞いに相関がある

[Hashimoto, Murata, Tanahashi, Watanabe 2023]

- スタジアムビリヤード系でKrylov複雑性を数値的に評価



- ビリヤードの形状を変形したときに次の3つの量の間に相関を確認



- Lanczos係数の振る舞いは量子力オスの良い指標となりうる
- 普遍性: 同様の結果はSinaiビリヤードに対しても確認された

